



Instituto de
Física
Teórica
UAM-CSIC



EL UNIVERSO VIOLENTO (Y OSCURO) A LA LUZ DE LOS RAYOS GAMMA

Miguel A. Sánchez Conde

Instituto de Física Teórica IFT UAM/CSIC
Departamento de Física Teórica, Universidad Autónoma de Madrid

Noche Europea de los Investigadores
Sede Central CSIC, 30 septiembre 2022



Instituto de
Física
Teórica
UAM-CSIC



EL UNIVERSO VIOLENTO (Y OSCURO) A LA LUZ DE LOS RAYOS GAMMA

Miguel A. Sánchez Conde

Instituto de Física Teórica IFT UAM/CSIC
Departamento de Física Teórica, Universidad Autónoma de Madrid

Noche Europea de los Investigadores
Sede Central CSIC, 30 septiembre 2022



Instituto de
Física
Teórica
UAM-CSIC



EL UNIVERSO VIOLENTO (Y OSCURO) A LA LUZ DE LOS RAYOS GAMMA

Miguel A. Sánchez Conde

Instituto de Física Teórica IFT UAM/CSIC
Departamento de Física Teórica, Universidad Autónoma de Madrid

Noche Europea de los Investigadores
Sede Central CSIC, 30 septiembre 2022



Instituto de
Física
Teórica
UAM-CSIC



EL UNIVERSO VIOLENTO (Y OSCURO) A LA LUZ DE LOS RAYOS GAMMA

Miguel A. Sánchez Conde

Instituto de Física Teórica IFT UAM/CSIC
Departamento de Física Teórica, Universidad Autónoma de Madrid

Noche Europea de los Investigadores
Sede Central CSIC, 30 septiembre 2022



***"Qué es entonces esta bóveda azul, que ciertamente existe
y nos impide ver las estrellas durante el día"***

[Flammarion "L'Atmosphère: Météorologie Populaire" -- Paris, 1888]

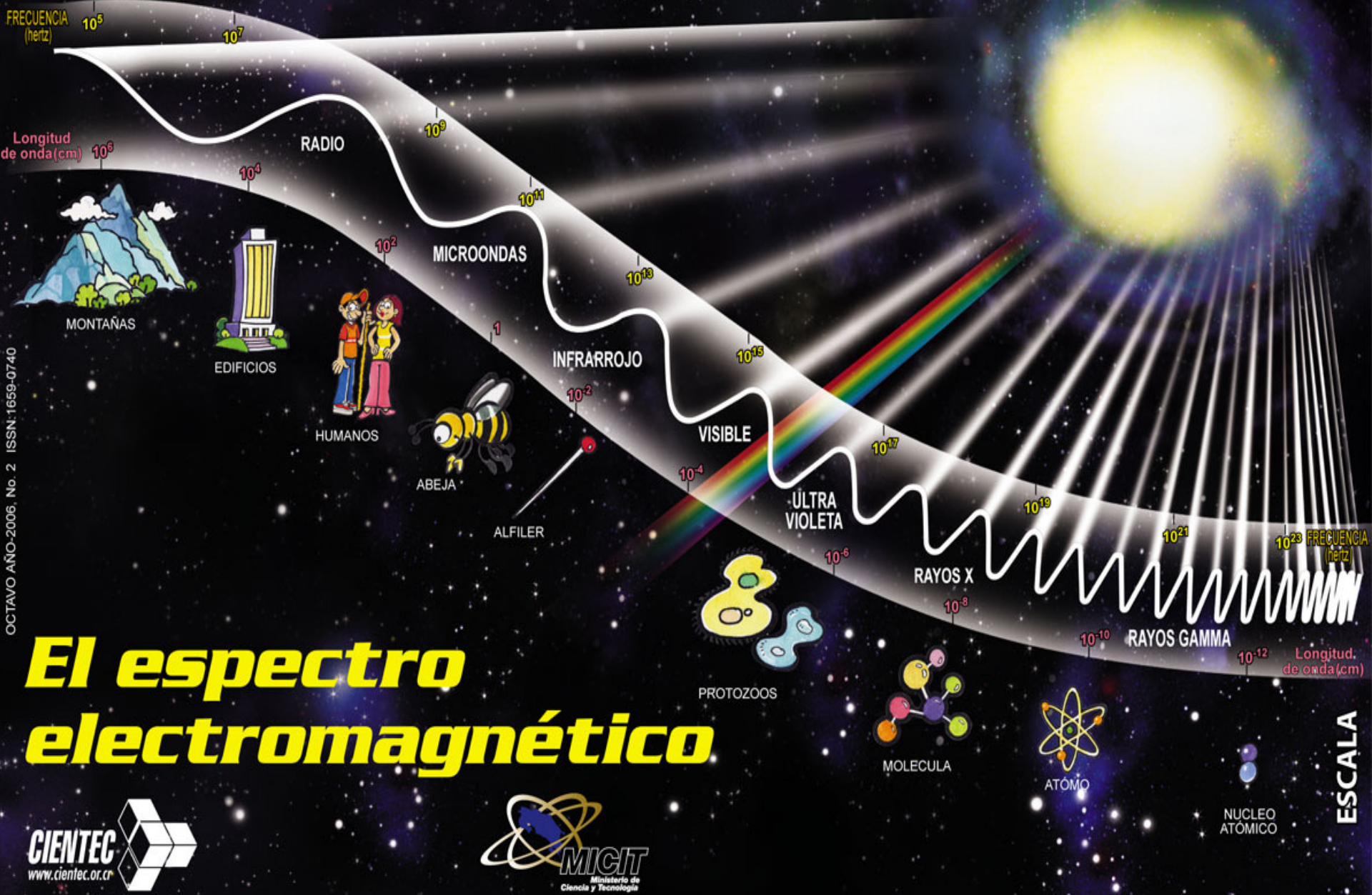
Esto no es algo nuevo...



**... pero hemos hecho
algunos progresos últimamente**



¡La clave es la luz!



“Gafas” para todo tipo de luz ☺



Fermi, rayos gamma



MAGIC, rayos gamma



Spitzer, infrarrojo



VLA, radio



James Webb, óptico e IR



GTC, óptico

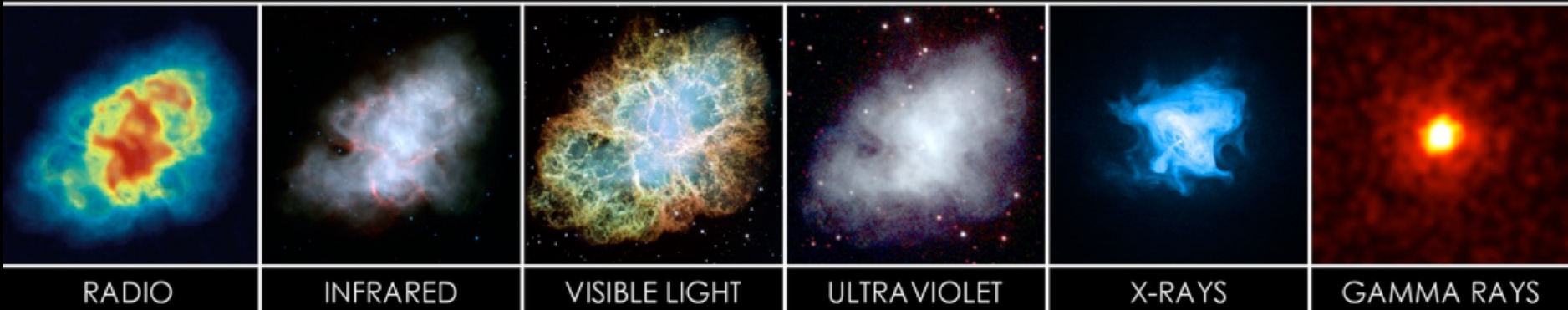


INTEGRAL rayos X

¡Y muchos más!

"Gafas" para todo tipo de luz ☺

CRAB NEBULA



Observando el mismo objeto **a distintas energías** obtenemos más información acerca de su **naturaleza y los procesos físicos** que en él operan.



¿Con qué ojos observas el universo?

© www.chromoscope.net

Milky Way • Gamma Rays

Fermi/NASA

Milky Way • X-Rays

ROSAT All Sky Survey

Milky Way • Visible Light

DSS2/Wikisky

Milky Way • Infrared

IRAS/NASA

Milky Way • Radio

Haslam et al

Pese a los progresos, quedan muchas incógnitas.

Hablaré de uno de los **misterios no resueltos** más grandes de nuestro tiempo.

Y de su **conexión** con los rayos gamma.

Todos los mundos...

Ocho en el Sistema Solar.

Más de 4.500 orbitando
alrededor de otras estrellas
(y subiendo).



Todas las estrellas...

100.000 millones sólo en nuestra galaxia.

Todas las galaxias...

Miles de millones en el Universo observable.

... son sólo la punta del iceberg

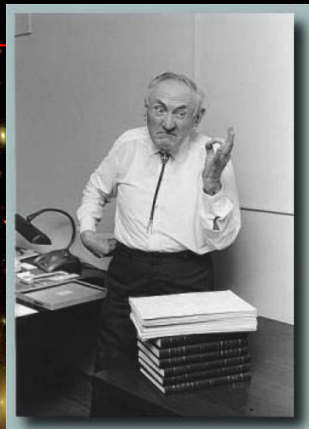


La materia visible
representa sólo una
pequeña fracción
del Universo.



Y todavía no sabemos de qué
está constituido el resto.

Primeras evidencias de materia oscura



Masa “invisible”
en la vecindad solar
[J. Oort 1932]

BULLETIN OF THE ASTRONOMICAL INSTITUTES
OF THE NETHERLANDS.

1932 August 17

Volume VI.

No. 238.

COMMUNICATION FROM THE OBSERVATORY AT LEIDEN.

The force exerted by the stellar system in the direction perpendicular to the galactic plane and some related problems, by *J. H. Oort*.

Notations.

- z distance from the galactic plane,
 Z velocity component perpendicular to the galactic plane,
 Z_0 the value of Z for $z = 0$,
 I modulus of a Gaussian component of the distribution of Z (formula (5), p. 253),
 $K(z)$ the acceleration in the direction of z ,
 Δ the star-density,
 r the distance of a star from the sun,
 $\Phi(M)$ the number of stars per cubic parsec between $M - \frac{1}{2}$ and $M + \frac{1}{2}$,
 $A(m)$ the number of stars per square degree between $m - \frac{1}{2}$ and $m + \frac{1}{2}$,
 b galactic latitude,
 ϖ distance to the axis of rotation of the galactic system,
 δ $\partial \log \Delta / \partial \varpi$.

4. From VAN RHIJN's tables in *Groningen Publicaties* No. 38 the density distribution $\Delta(z)$ has been computed for four intervals of visual absolute magnitude (Table 13 and Figure 1). Figures 2 and 3 show $\log \Delta(z)$ for LINDBLAD.

5. With preceding $K(z)$ between $z = 0$ and 10° were made were eliminated. Figure 4, good agreement values of magnitude the approach. The result absolute z from $z = 0$ to 10° it remains practically constant and equal to 5.8 ± 0.9 .

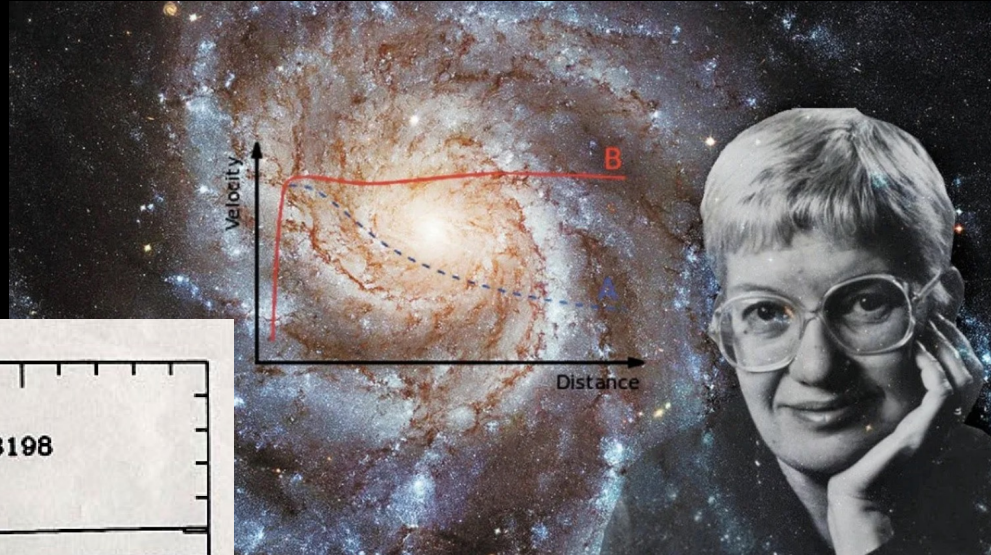
Las galaxias en el cúmulo de Coma se
mueven a velocidades **demasiado** elevadas
[F. Zwicky, ~1933]



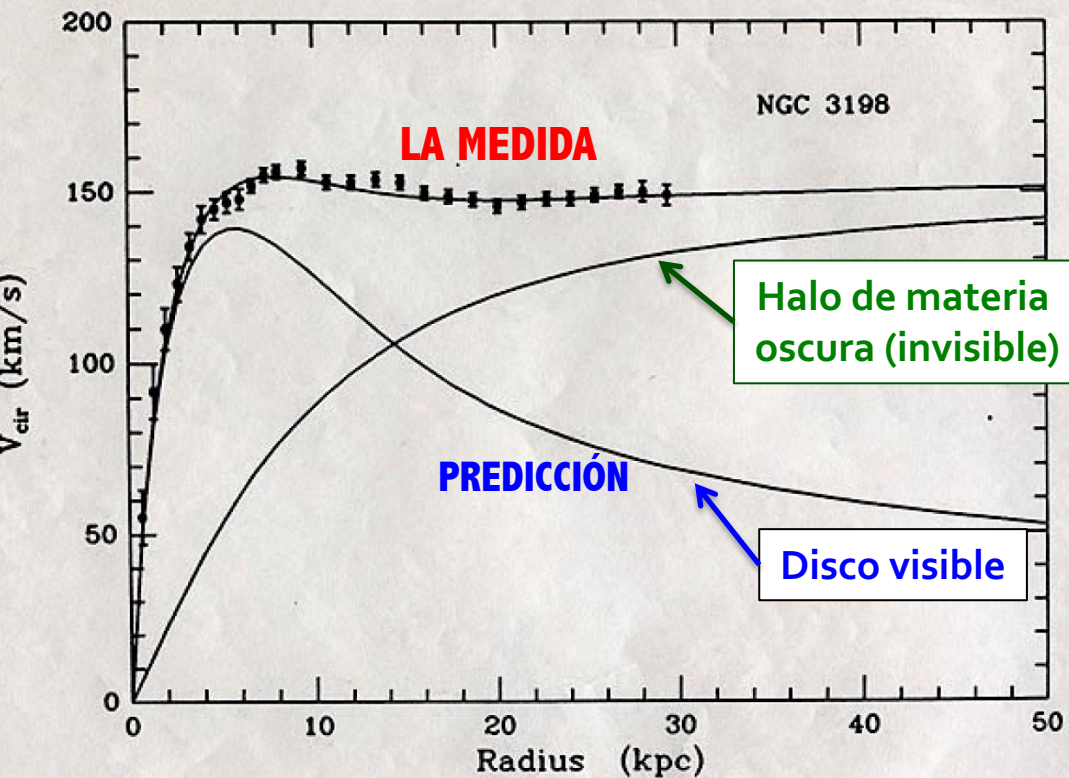
Rotación de galaxias espirales

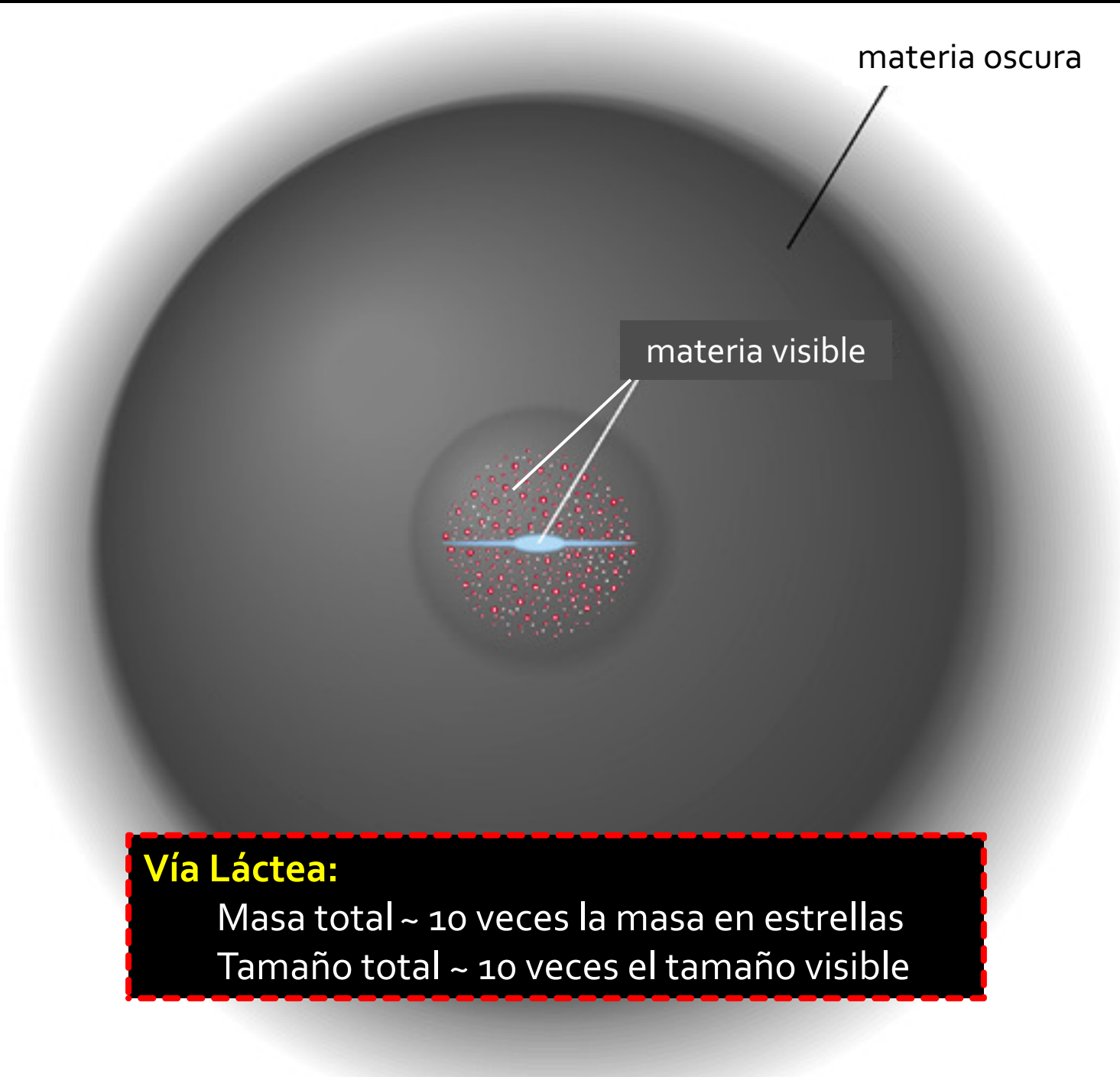
El Economista (2021)

La velocidad de rotación de galaxias espirales requiere una gran cantidad de materia (no visible) en las partes externas



Vera Rubin





(ALGUNAS) EVIDENCIAS OBSERVACIONALES DE MATERIA OSCURA

Existen evidencias a todas las escalas.

Escalas galácticas

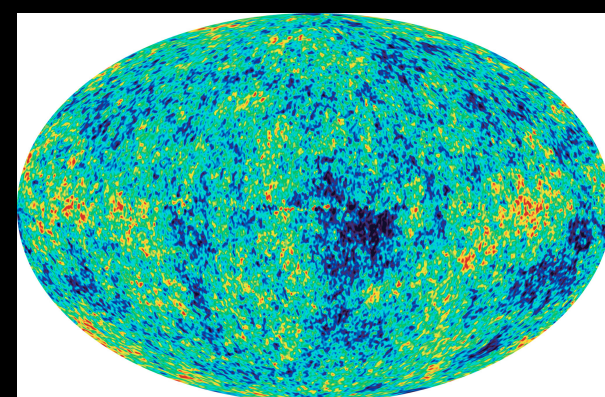
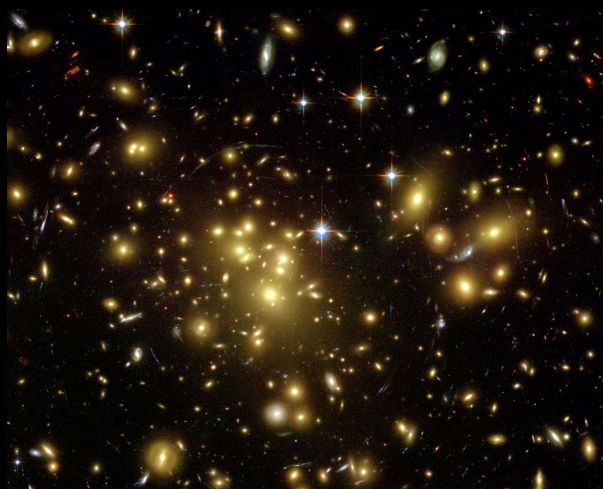
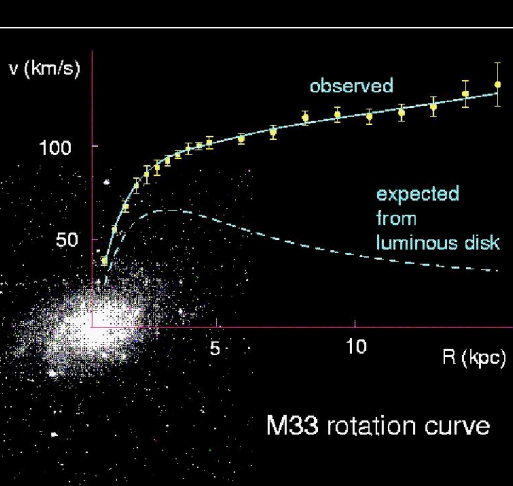
- a) Curvas de rotación.
- b) Lente gravitacional débil.
- c) Dispersión de velocidades de galaxias satélites.
- d) Dispersión de velocidades dentro de galaxias enanas.

Cúmulos de galaxias

- a) Dispersión de velocidades de galaxias individuales.
- b) Lentes gravitacionales
- c) Velocidades peculiares.
- d) Emisión en rayos X.

Escalas cosmológicas

- a) Anisotropías CMB
- b) Formación de estructuras
- c) Distribución a gran escala
- d) Oscilaciones acústicas de bariones.
- e) Efecto Sunyaev-Zeldovich



El 'iceberg cósmico'

Materia visible (5%)

Materia oscura (27%)

Energía oscura (68%)



¿De qué podría estar hecha la materia oscura?

La mayor parte de la materia oscura en el Universo no puede estar hecha de átomos.

Propiedades

- 1) Oscura.
- 2) Neutra.
- 3) Estable.
- 4) “Fría”.
- 5) 5 veces más abundante que la materia ordinaria.

- ❑ Sin candidato viable en el ‘Modelo Estándar’ de Física de Partículas.
- ❑ Un montón de candidatos más allá del Modelo Estándar (**sólo teorías**)



Artwork by Sandbox Studio, Chicago

¿De qué podría estar hecha la materia oscura?

La mayor parte de la materia oscura en el Universo no puede estar hecha de átomos.

Propiedades

- 1) Oscura.
- 2) Neutra.
- 3) Estable.
- 4) “Fría”.
- 5) 5 veces más abundante que la materia ordinaria.

- Sin candidato viable en el ‘Modelo Estándar’ de Física de Partículas.
- Un montón de candidatos más allá del Modelo Estándar (**sólo teorías**)

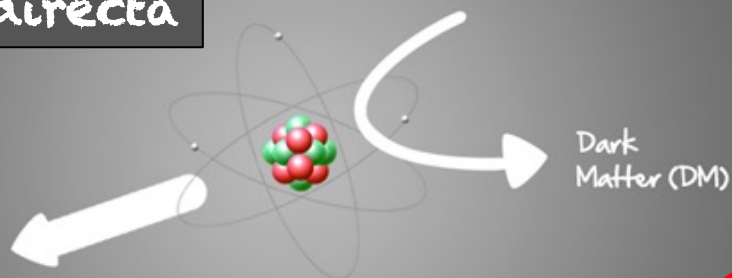


Búsquedas de materia oscura



Estrategias de búsqueda de materia oscura (WIMPs)

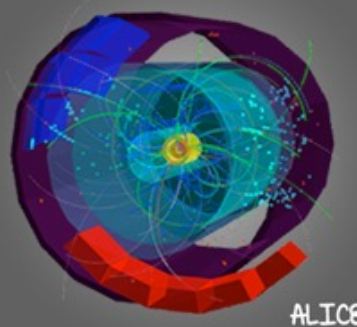
Detección directa



Detección indirecta

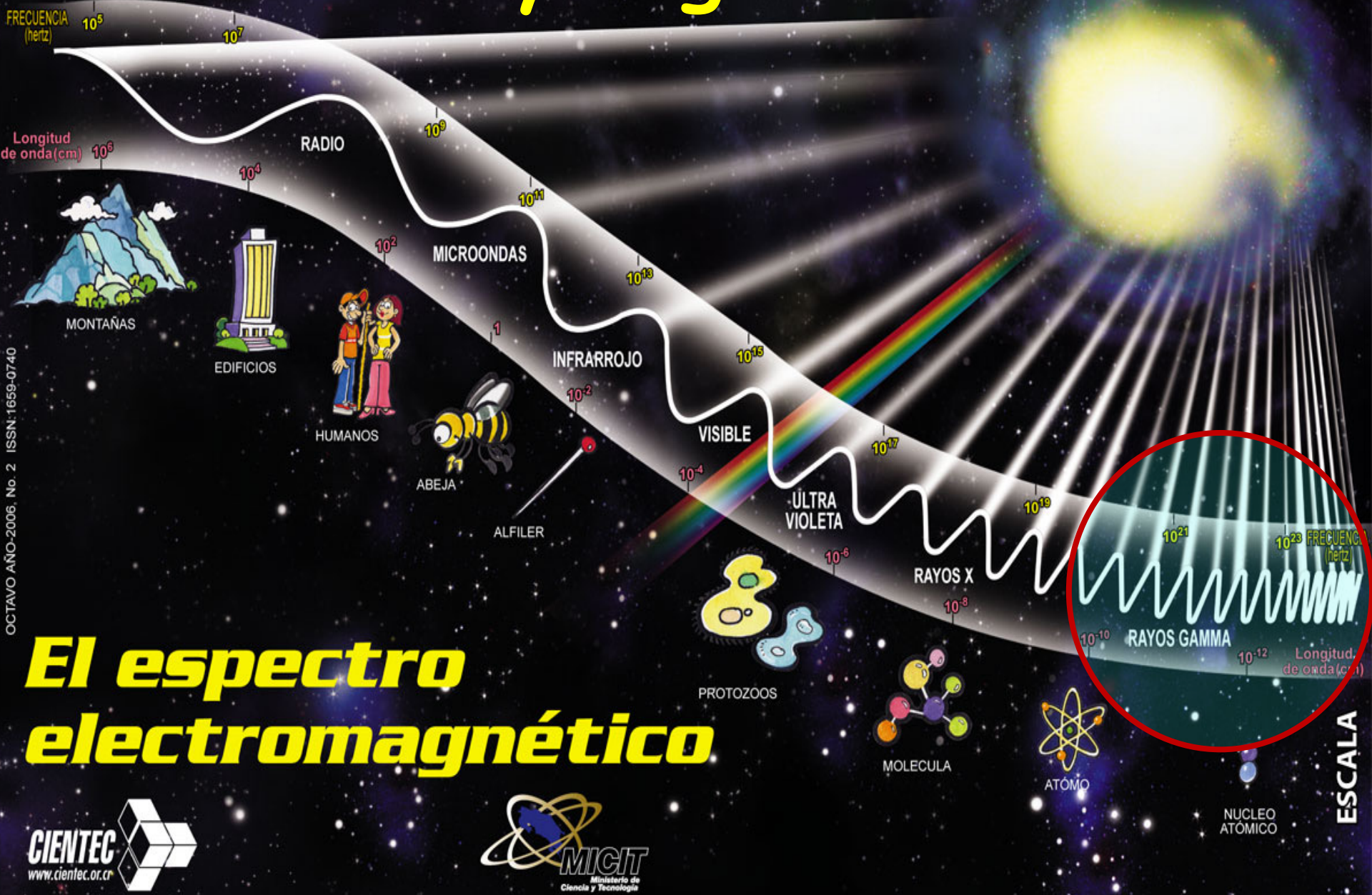


Producción directa
en colisionadores



Los rayos gamma son uno de los productos de aniquilación de los WIMPs

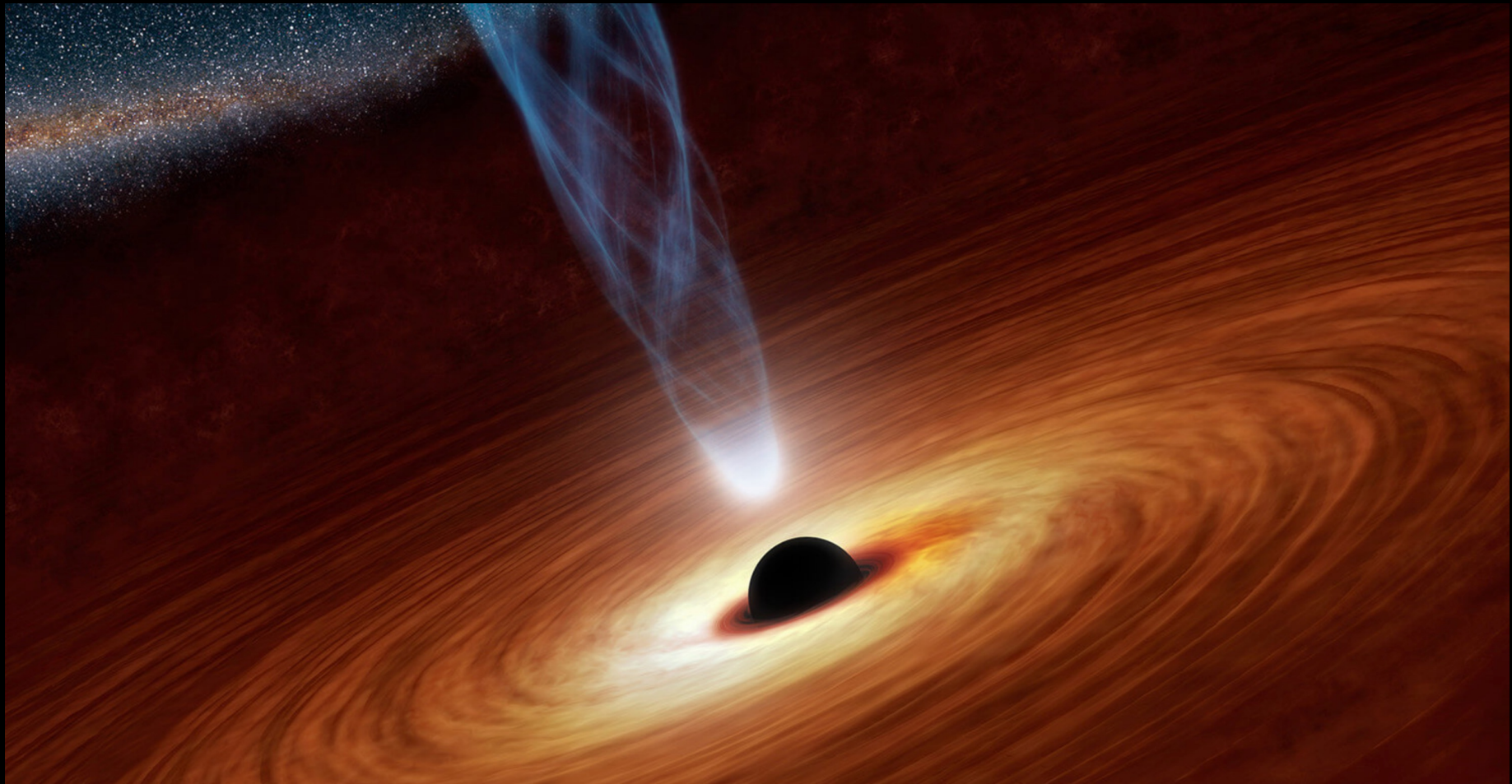
¿Rayos gamma?



El espectro electromagnético

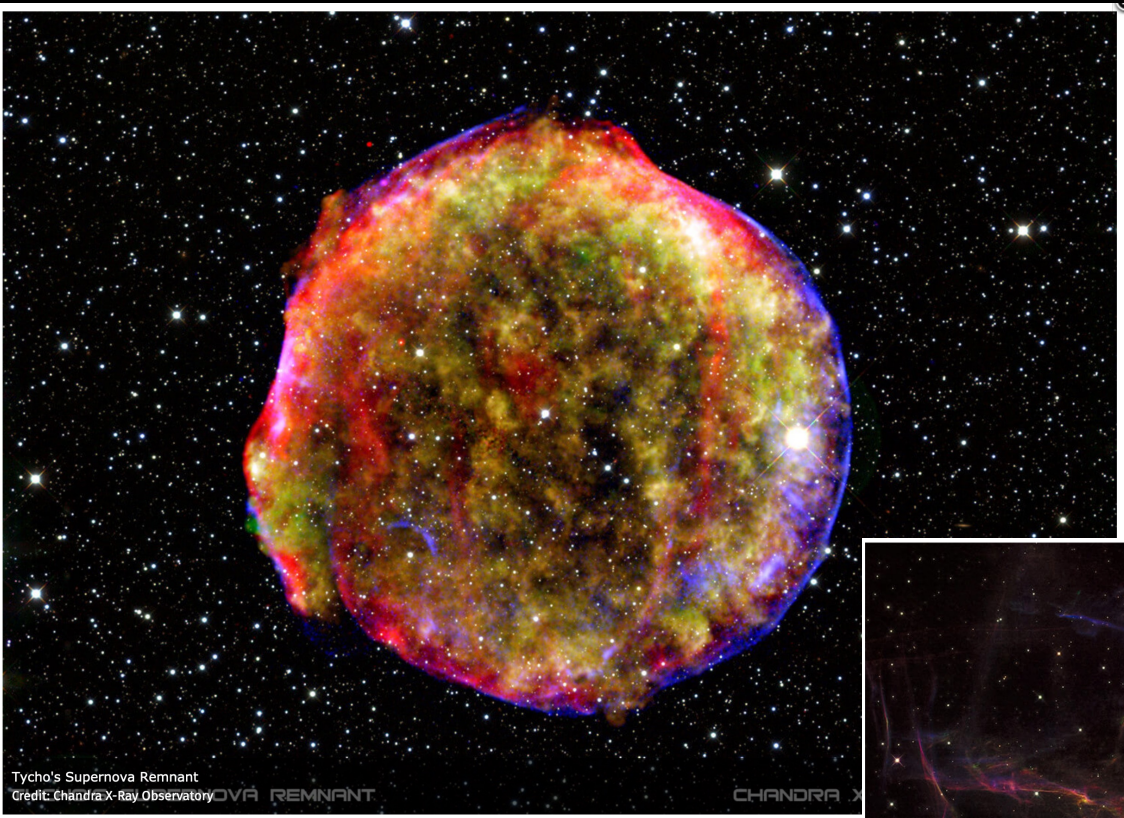
Sólo los fenómenos
más energéticos y violentos en el Universo
pueden generar rayos gamma.

Bestiario (I): agujeros negros

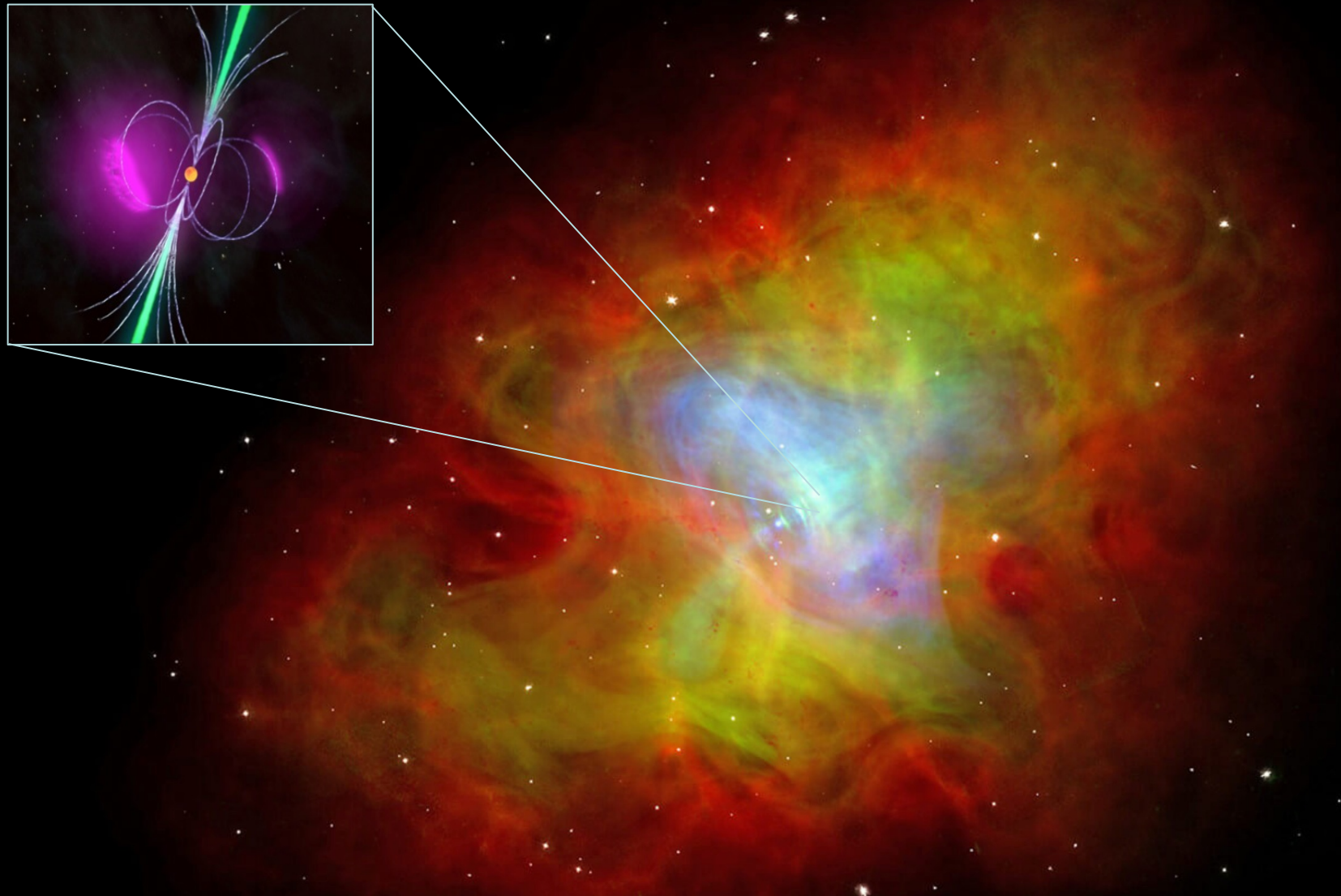


NASA/JPL-Caltech

Bestiario (II): supernovas



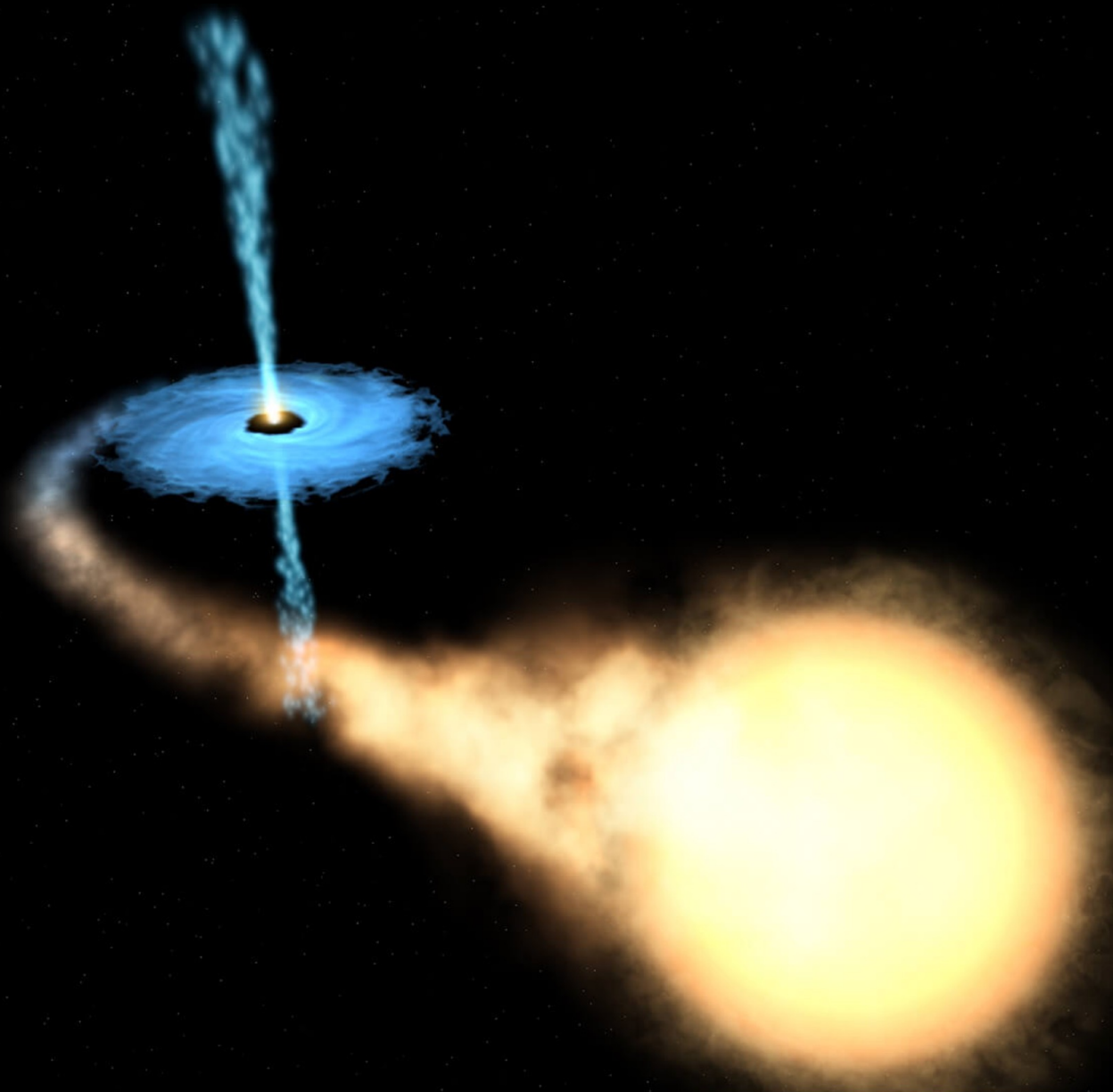
Bestiario (III): púlsares



Crab Nebula Pulsar

NASA/ESA y. Hester (ASU), CXC, HST, NRAO, NSF, NASA

Bestiario (IV): sistemas binarios



Bestiario (V): galaxias activas



Bestiario (VI): ¿aniquilación de materia oscura?



Biblioteca Nacional de Suecia

NASA/ESA

La atmósfera: el escudo terrestre contra los rayos gamma



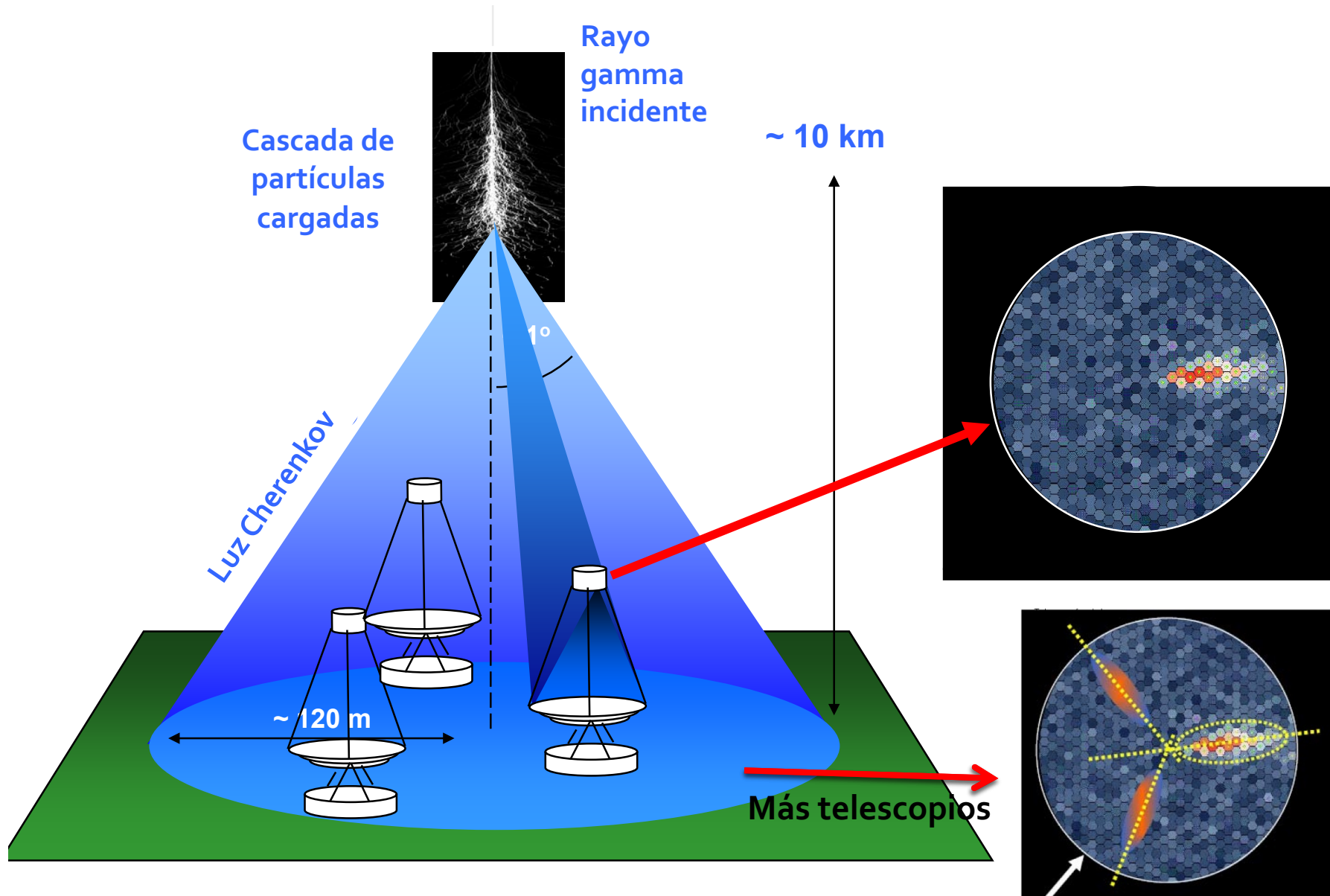
Cazando gammas en el espacio: El satélite Fermi

- Lanzado en 2008 por NASA, con colaboración internacional.
- Observa todo el cielo en sólo 3 horas con una sensibilidad sin precedentes.
- Del tamaño de un coche pequeño, ¡pero consume como una tostadora!
- Datos públicos en ~24 horas.



Pero...
¡También
desde tierra!

Los “telescopios Cherenkov”



Observatorios actuales de rayos gamma



Fermi

[>2008]



MAGIC

[>2003]



HESS

[>2002]



HAWC

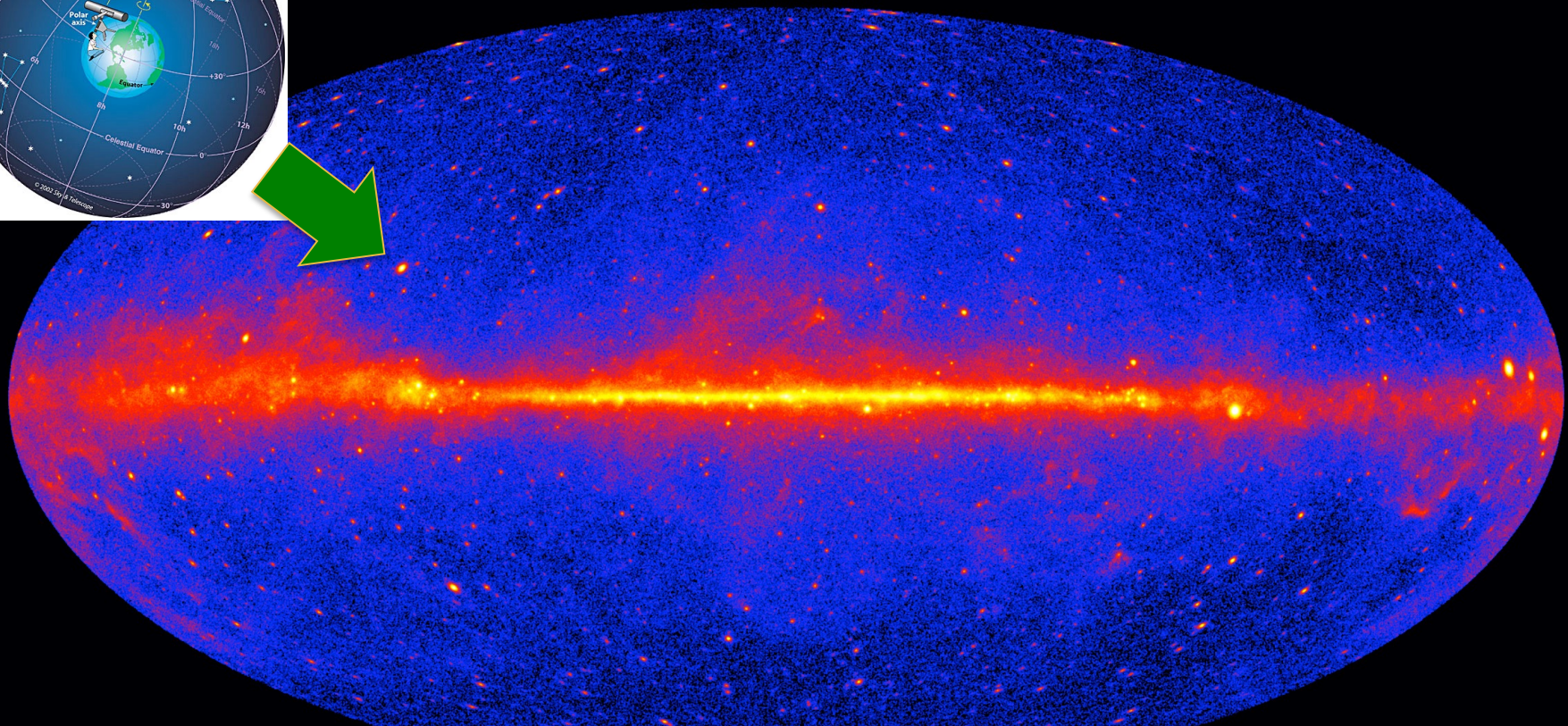
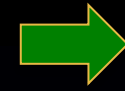
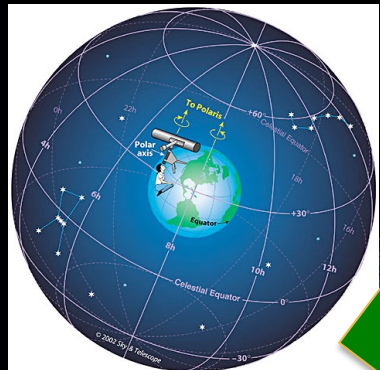
[>2015]



VERITAS

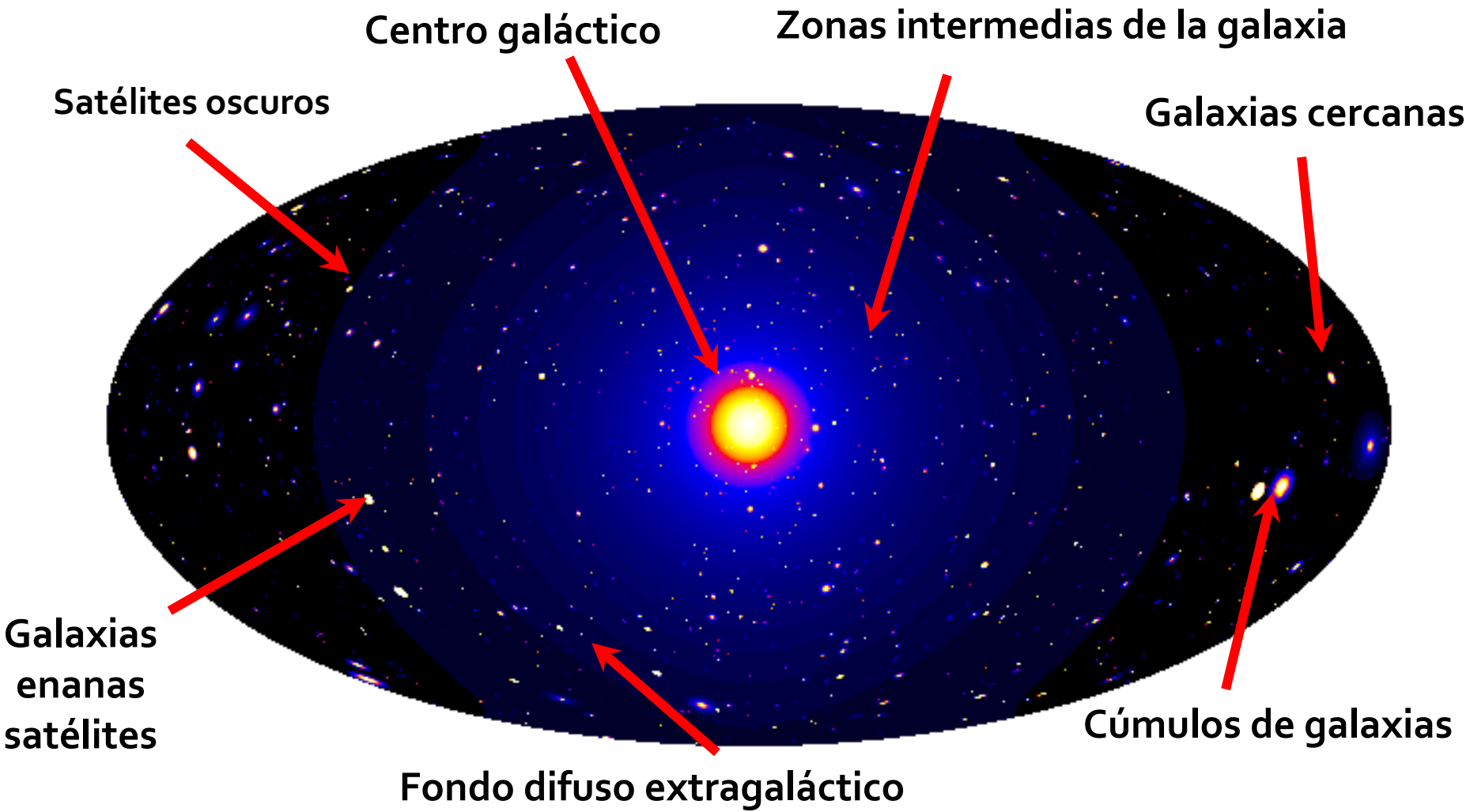
[>2006]

El cielo en rayos gamma



¡cerca de 7.000 objetos en la actualidad!

Búsquedas de materia oscura con rayos gamma



Búsquedas de materia oscura con rayos gamma

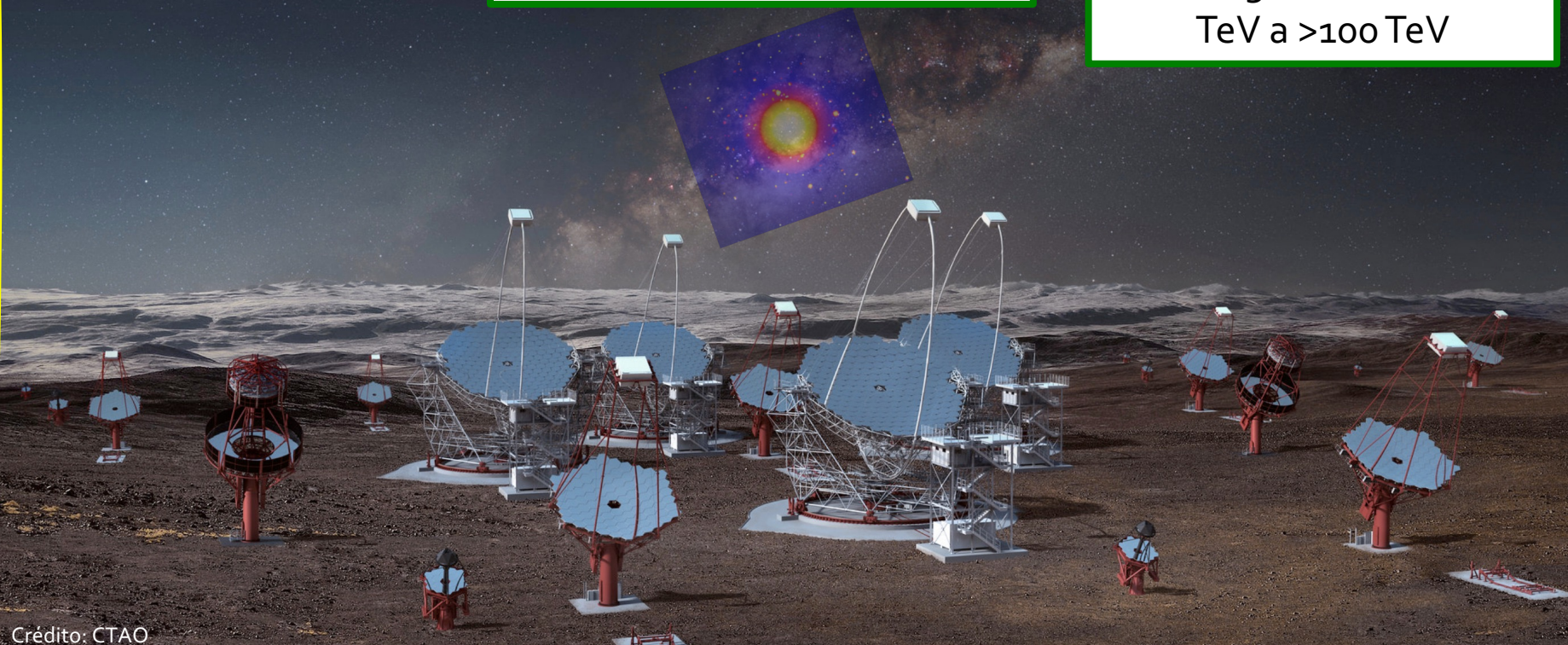


Futuro: Cherenkov Telescope Array (CTA)

Telescopios de 23 m
Menor energía
20-200 GeV

Telescopios de ~12 m
Energía intermedia
100 GeV a 10 TeV

Telescopios de ~4-6 m
Energías más altas
TeV a >100 TeV



Crédito: CTAO

CTA: la revolución gamma

Gran esfuerzo internacional: más de 30 países y 200 instituciones.



España es un socio capital.

Albergamos CTA-Norte.

Inauguración del primer telescopio en 2018 en La Palma.

¡CTA totalmente operativo en una escala de unos pocos años!

CTA desvelará el Universo violento **en mayor detalle**.

Junto con Fermi, permitirá explorar los principales
modelos de **materia oscura**.





*"Qué es entonces esta bóveda azul, que ciertamente existe
y nos impide ver las estrellas durante el día"*

[Flammarion "L'Atmosphère: Météorologie Populaire" -- Paris, 1888]



Instituto de
Física
Teórica
UAM-CSIC



EL UNIVERSO VIOLENTO (Y OSCURO) A LA LUZ DE LOS RAYOS GAMMA

Miguel A. Sánchez Conde

Instituto de Física Teórica IFT UAM/CSIC
Departamento de Física Teórica, Universidad Autónoma de Madrid

Noche Europea de los Investigadores
Sede Central CSIC, 30 septiembre 2022

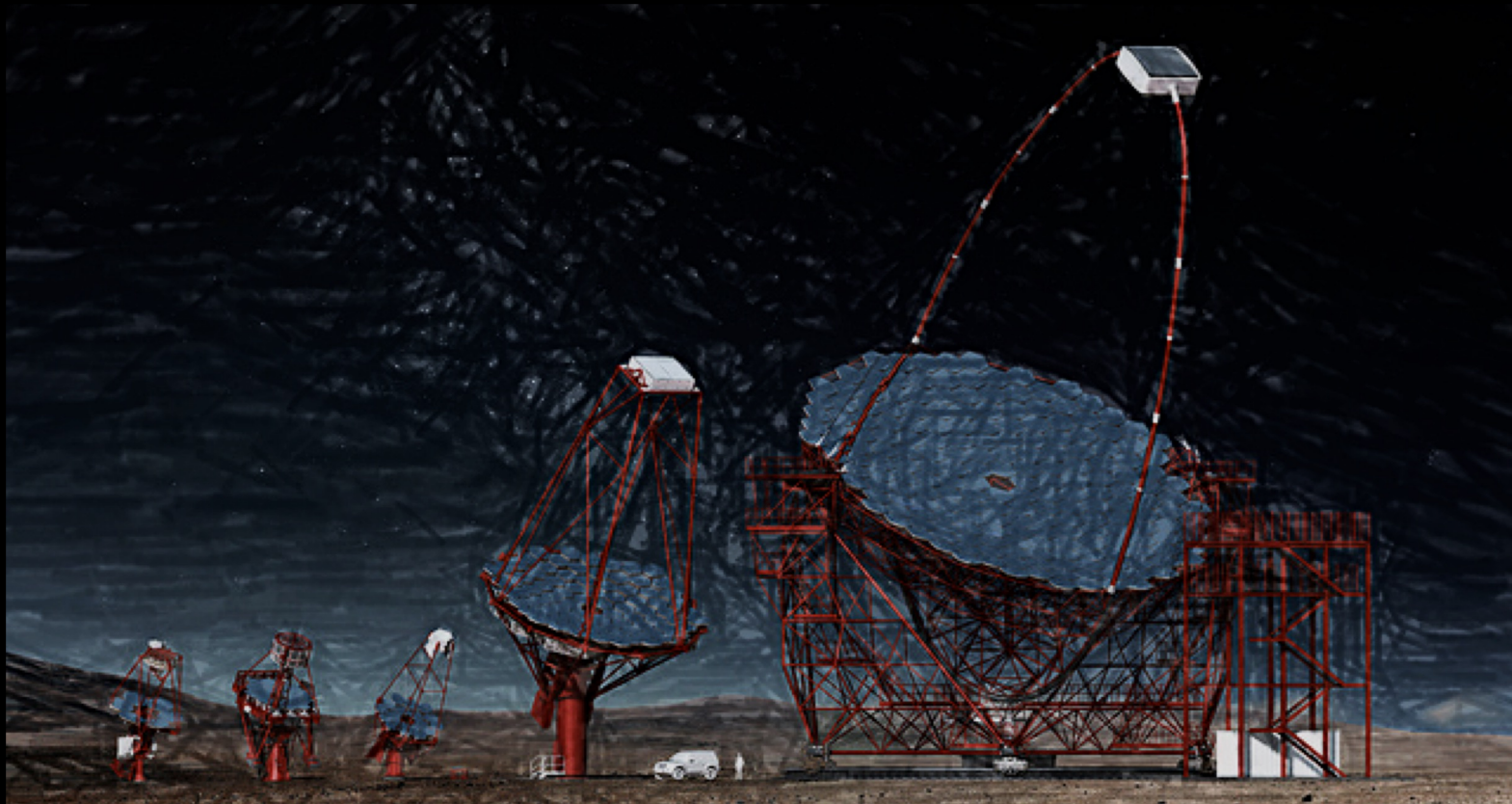
¡Gracias!

¿Más preguntas?
¡Contáctame!

Miguel A. Sánchez-Conde

miguel.sanchezconde@uam.es

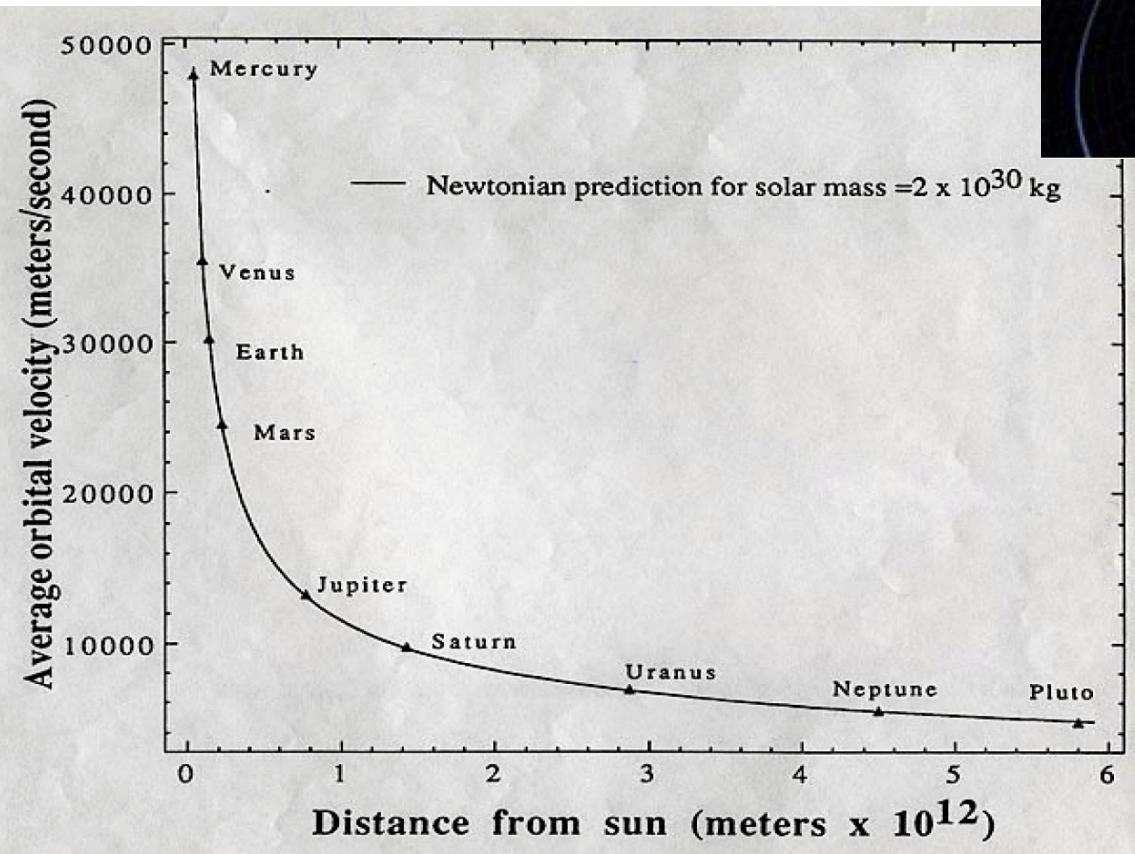
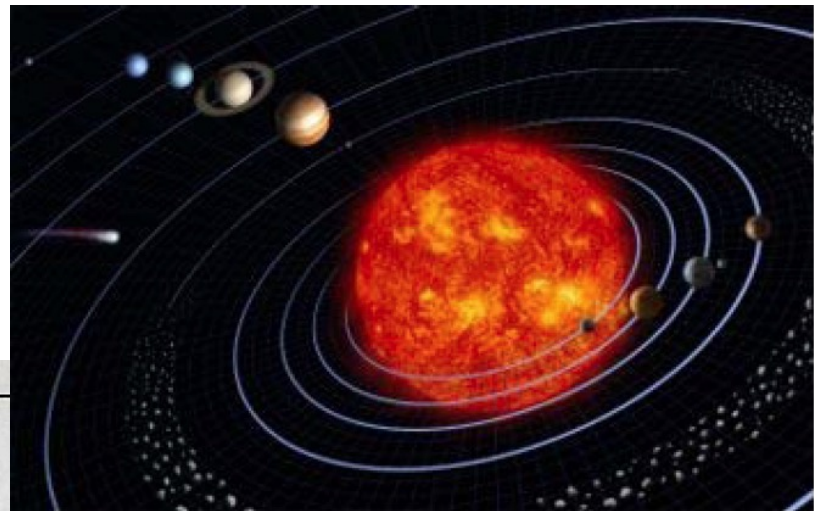
<https://projects.ift.uam-csic.es/damasco/>



backup slides

Uso del movimiento para medir la masa

Viejo argumento muy usado en Astrofísica



Fuerza gravedad fuerza centrífuga

$$G \frac{m M}{r^2} = \frac{m v^2}{r}$$

↓

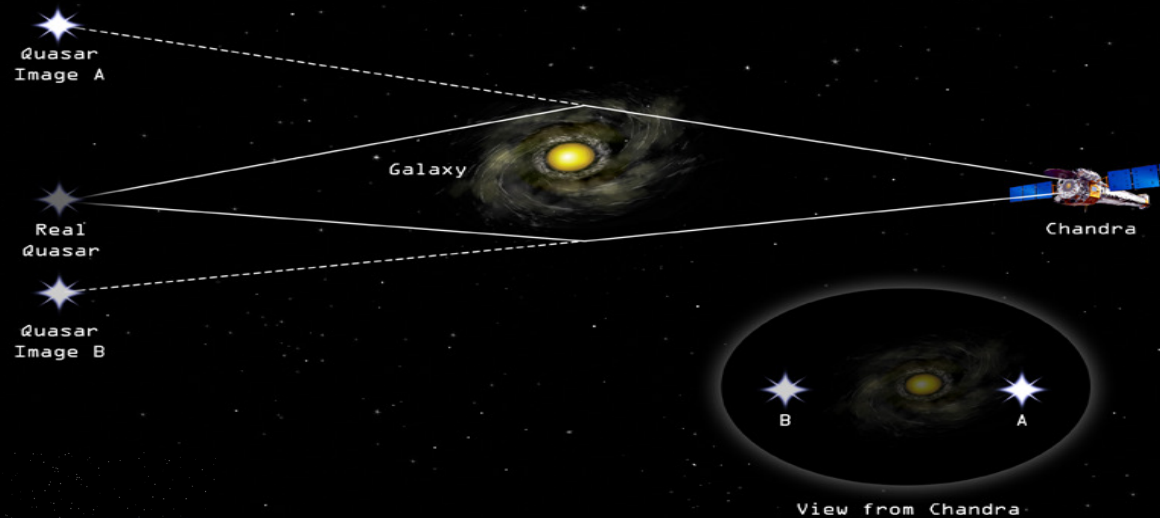
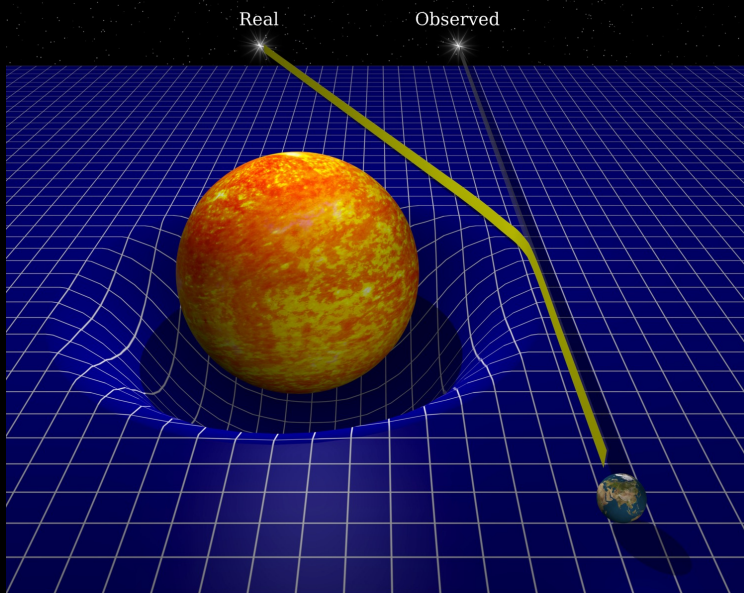
$$M(R) = \frac{V_{\text{rot}}^2 R}{G}$$

Lentes gravitacionales

Múltiples imágenes de una misma fuente debido a la curvatura de la luz en el pozo gravitacional del objeto lente.

Predicción GR.

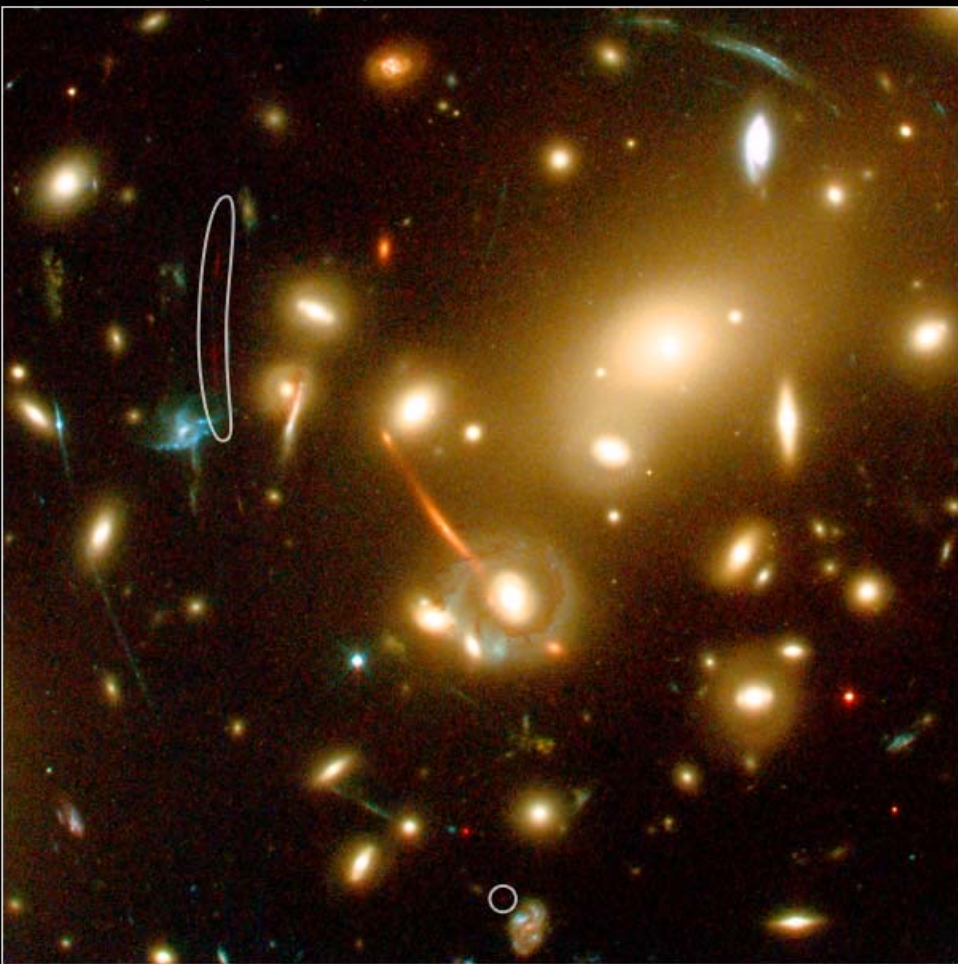
$$\theta = \frac{4GM}{rc^2}$$



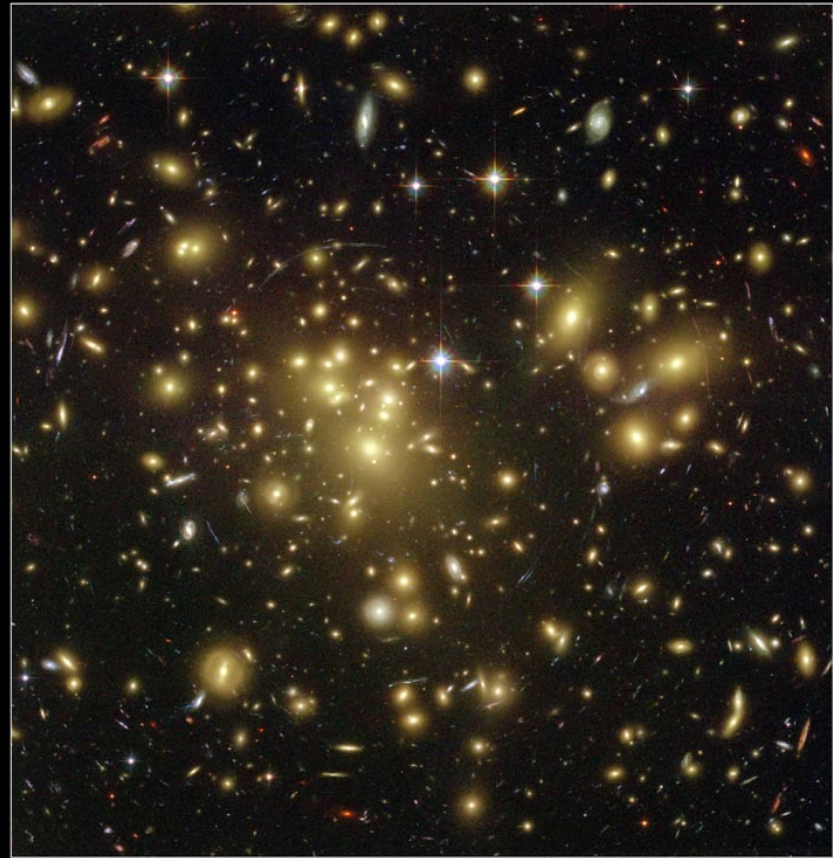
Gravitational Lens G2237+0305

Un ejemplo: Lente gravitacional en cúmulos de galaxias

Distant Galaxy Lensed by Cluster Abell 2218 HST • WFPC2 • ACS



ESA, NASA, J.-P. Kneib (Caltech/Observatoire Midi-Pyrénées) and R. Ellis (Caltech)) STScI-PRC04-08

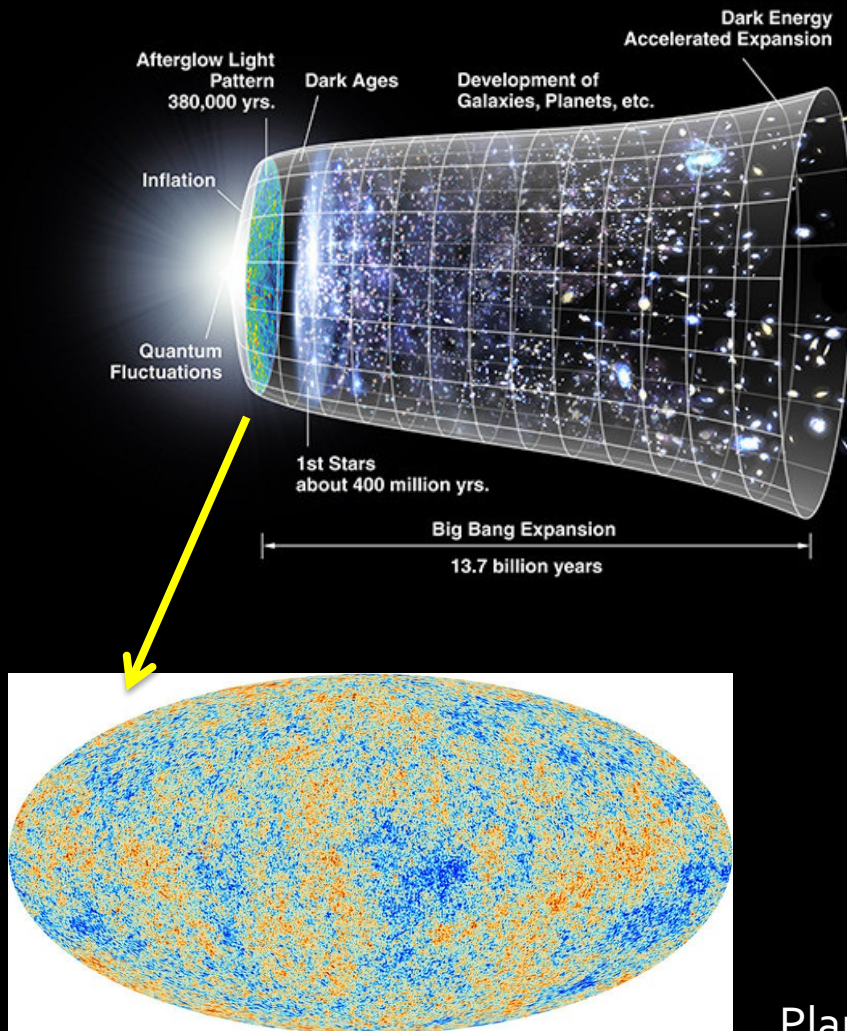


Galaxy Cluster Abell 1689
Hubble Space Telescope • Advanced Camera for Surveys

NASA, N. Benitez (JHU), T. Broadhurst (The Hebrew University), H. Ford (JHU), M. Clampin (STScI), G. Hartig (STScI), G. Illingworth (UCO/Lick Observatory), the ACS Science Team and ESA STScI-PRC03-01a

Nos permite “pesar” el objeto con mucha precisión.

El Fondo Cómico de Microondas (CMB)

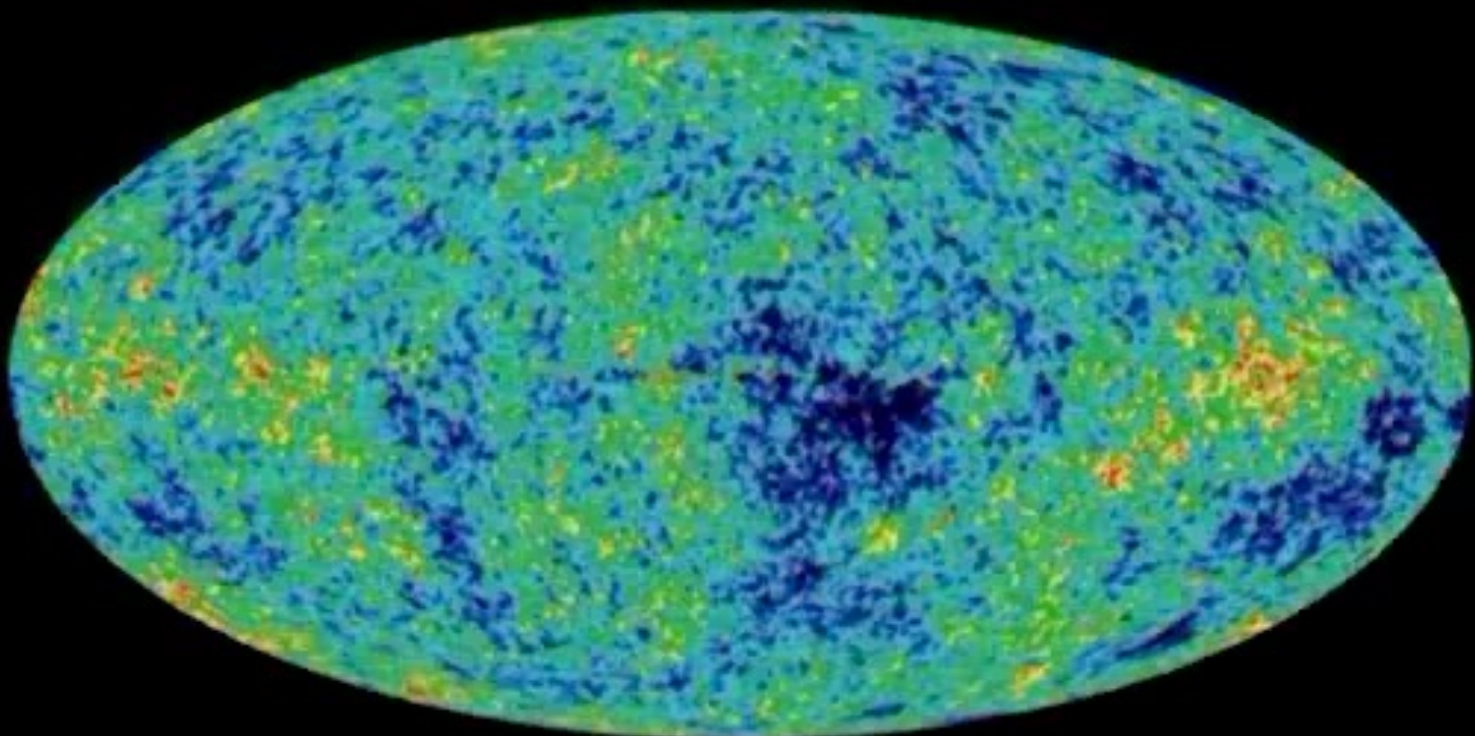


La radiación más distante jamás observada: primera luz en el Universo

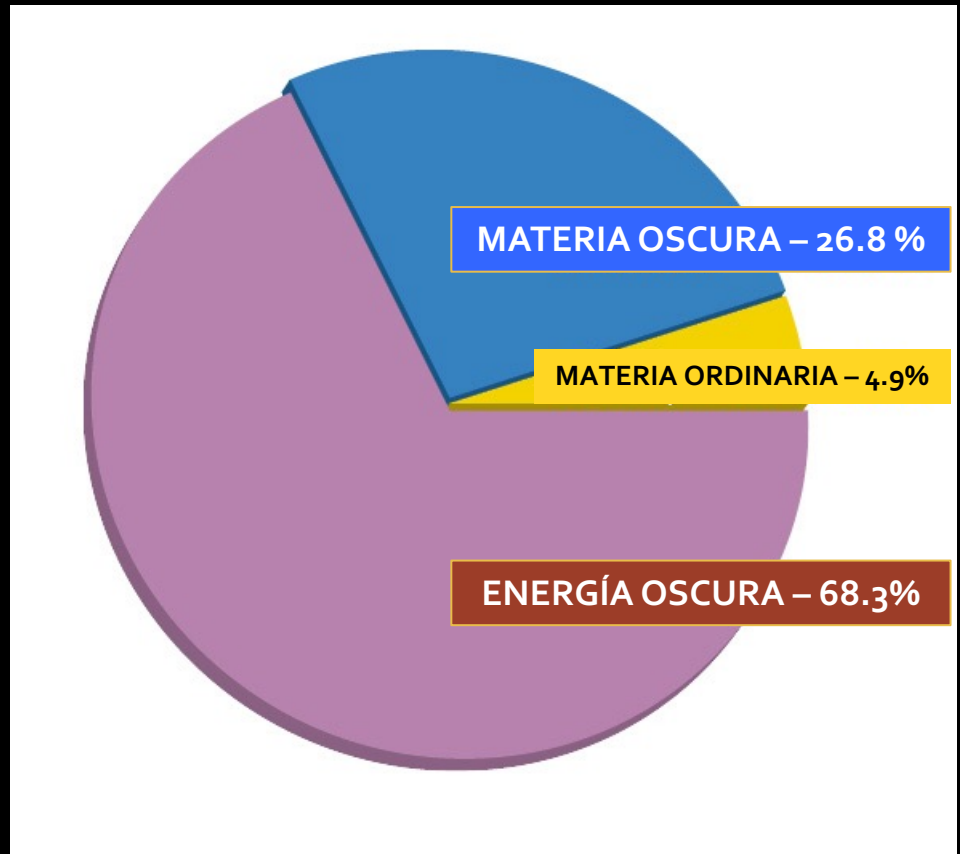
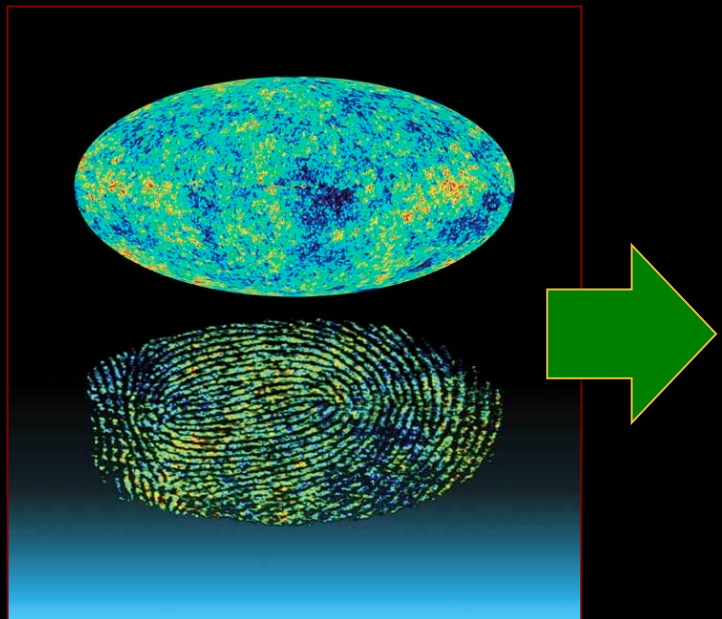
Debido a la expansión del Universo → 2.73 K actualmente

Planck collab. (2013)

El Fondo Cósmico de Microondas (CMB)

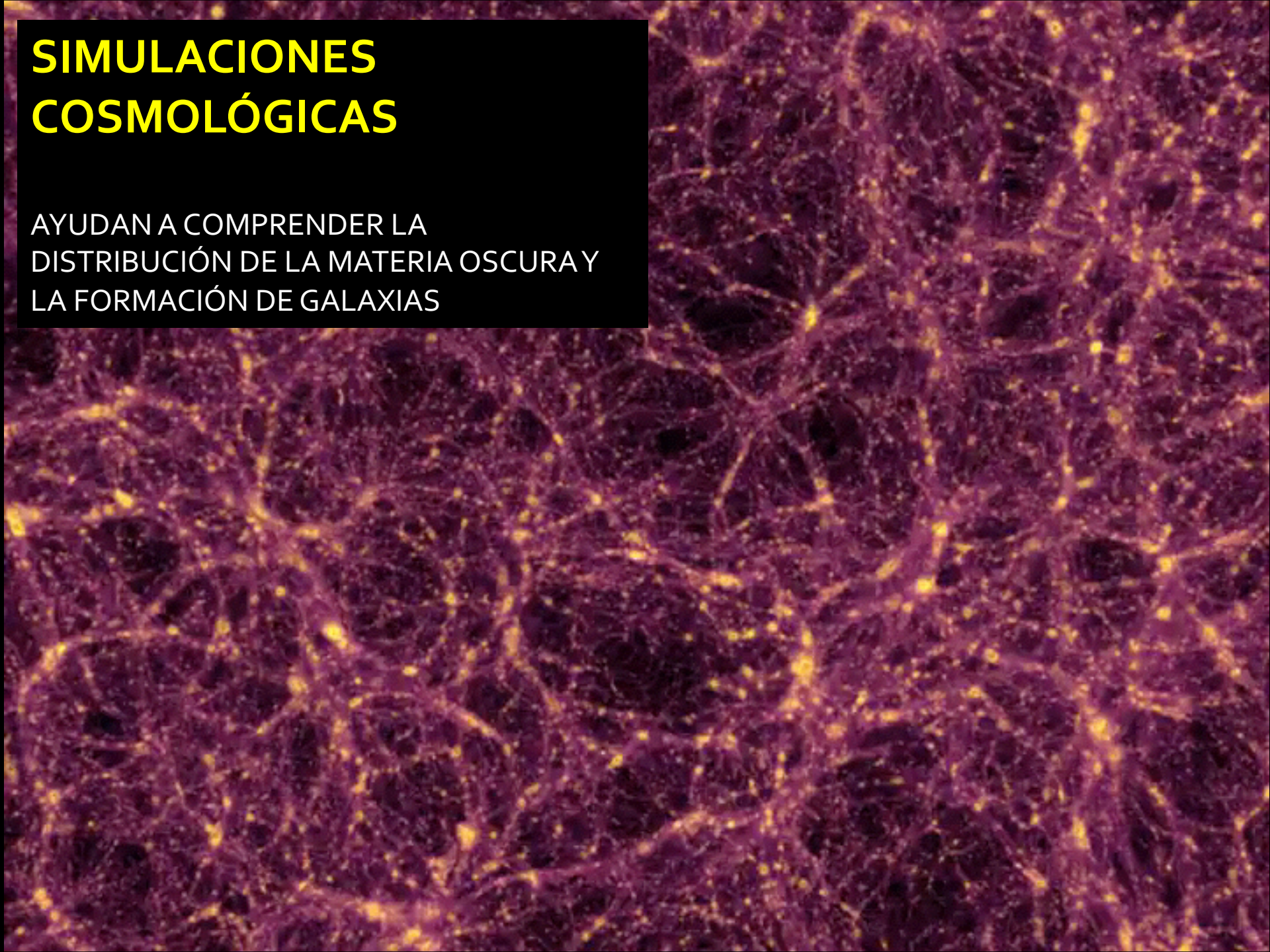


El pastel cósmico



SIMULACIONES COSMOLOGICAS

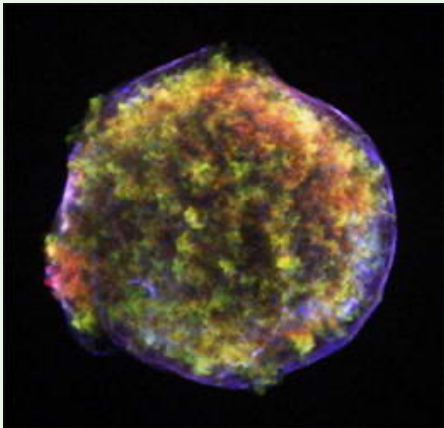
AYUDAN A COMPRENDER LA
DISTRIBUCIÓN DE LA MATERIA OSCURA Y
LA FORMACIÓN DE GALAXIAS



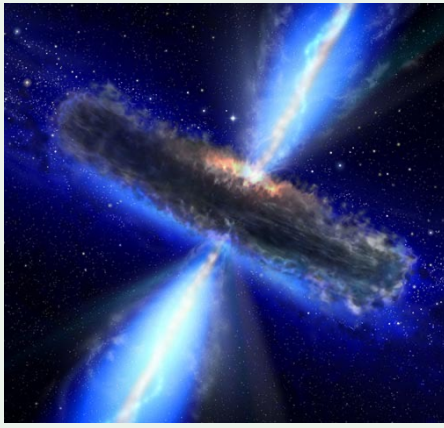
SIMULACIONES COSMOLOGICAS:

Herramienta para guiar las b usquedas de materia oscura

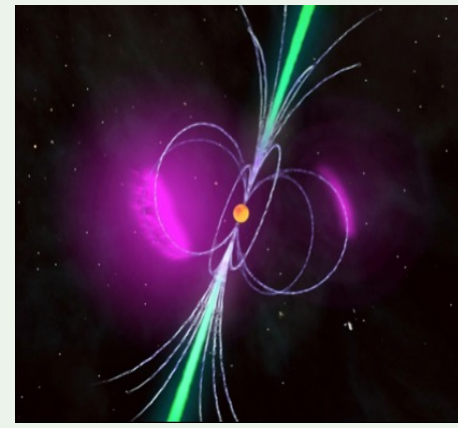
¿Qué fenómenos astrofísicos pueden generar rayos gamma?



Explosiones de
supernova



Acreción de
material



Campos magnéticos
muy intensos

**¡SÓLO LOS OBJETOS
MÁS ENERGÉTICOS Y 'VIOLENTOS'!**

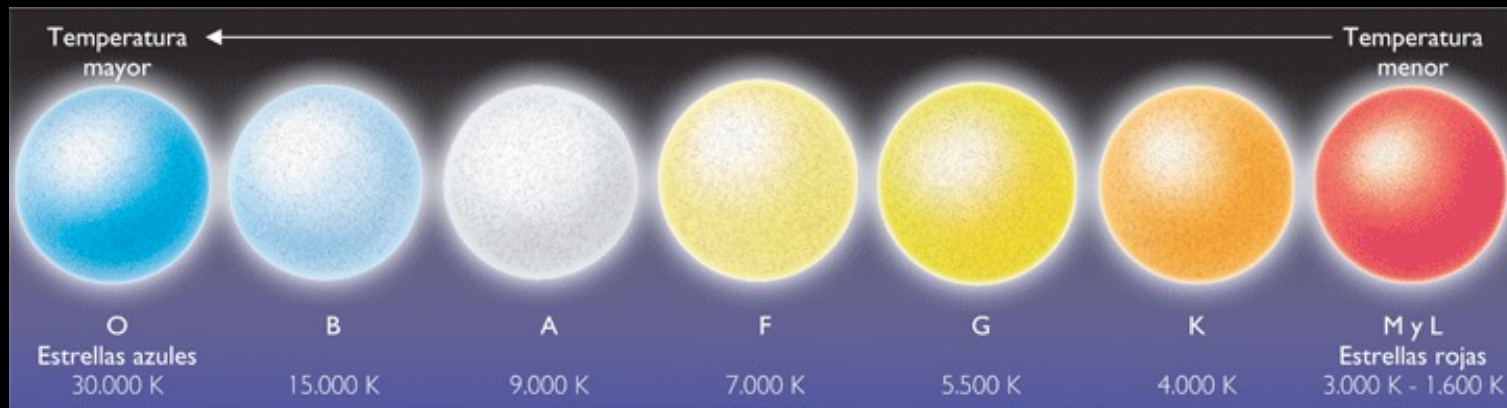
Emisión térmica... ¿o qué más?



Según se calienta el material, los electrones se aceleran alrededor de sus núcleos y emiten luz.

Los **procesos térmicos** se asocian a temperaturas.

Cada temperatura se asocia a una energía de la luz.



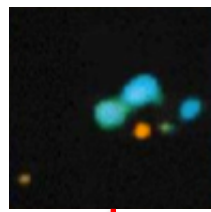
- Máxima temperatura térmica ~ varios millones de grados...
- Pero vemos luz que “necesitaría” del equivalente a 100.000 millones de grados!
- **Procesos no térmicos** aceleran electrones a velocidades incluso mayores

Rayos gamma: una ventana al universo más violento

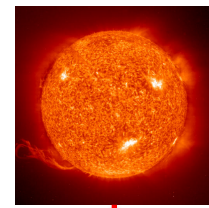
Nebulosa oscura



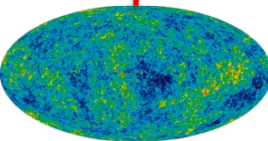
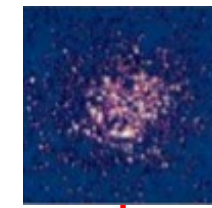
Guarderías estelares



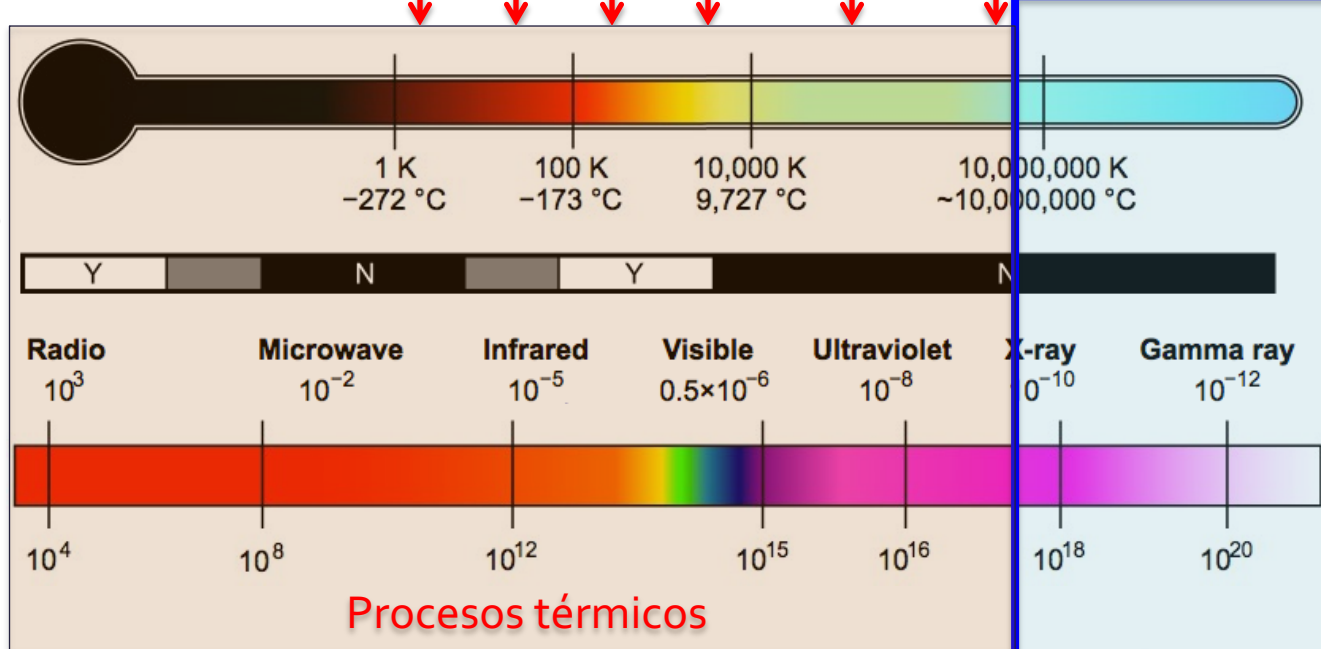
Nuestro sol



Jóvenes estrellas masivas

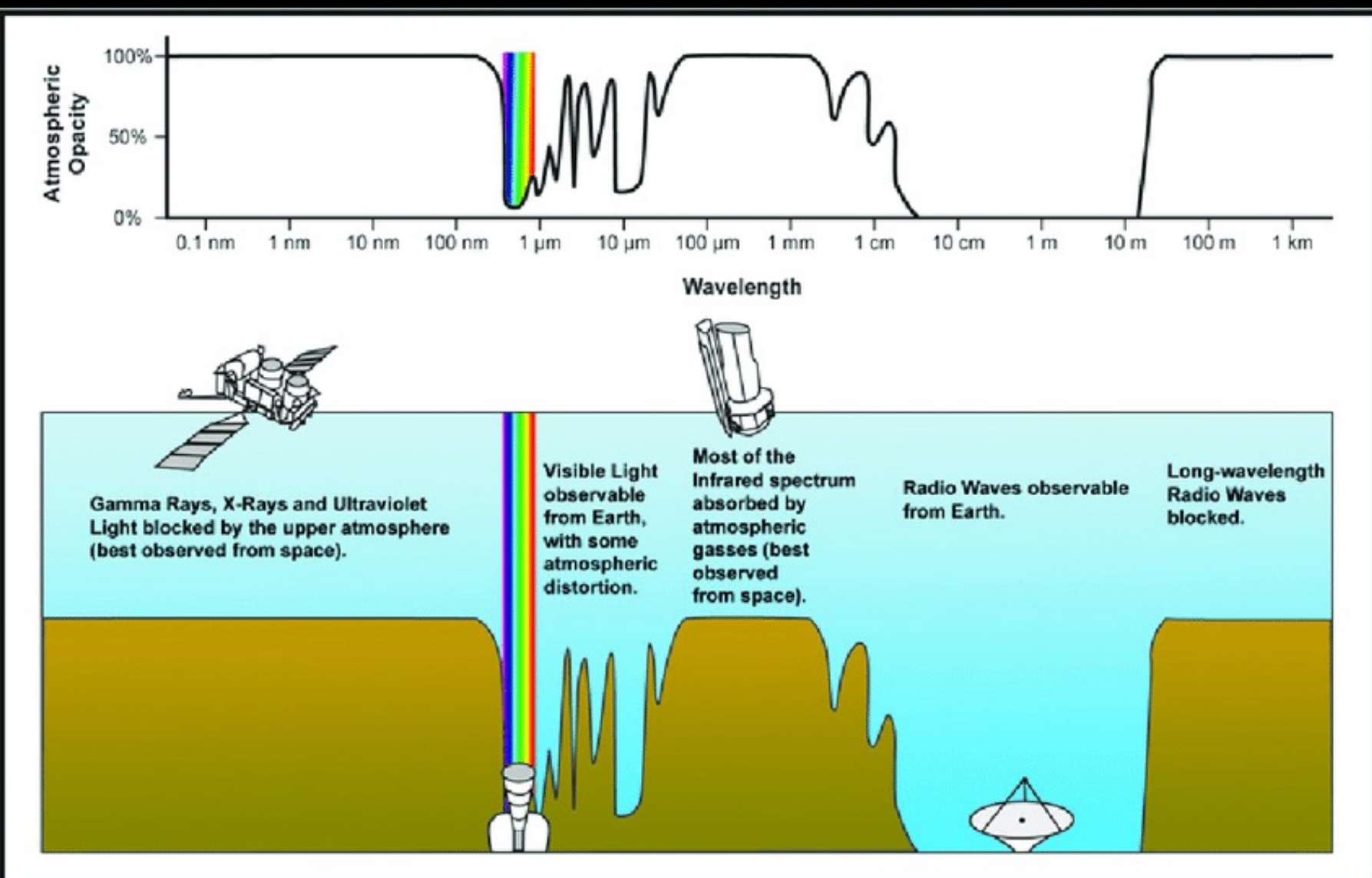


Fondo cósmico de microondas



Disco de acreción

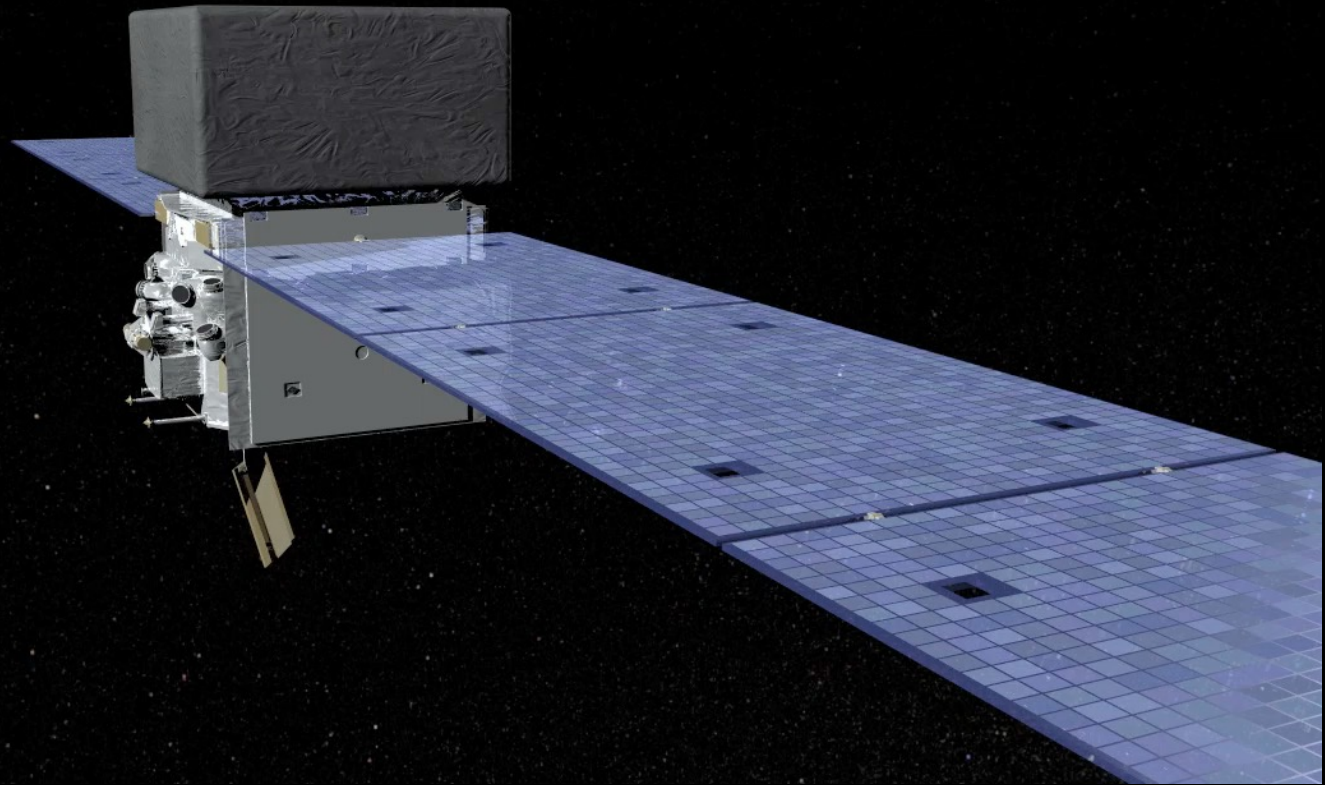
Opacidad atmosférica a rayos gamma



“Pillando” gammas con Fermi

Los rayos gamma no pueden “enfocarse” → ¿cómo detectarlos?

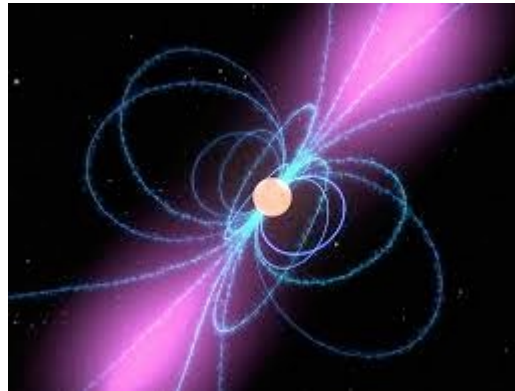
Fermi utiliza la “producción de pares electrón-positrón” para pillar gammas.



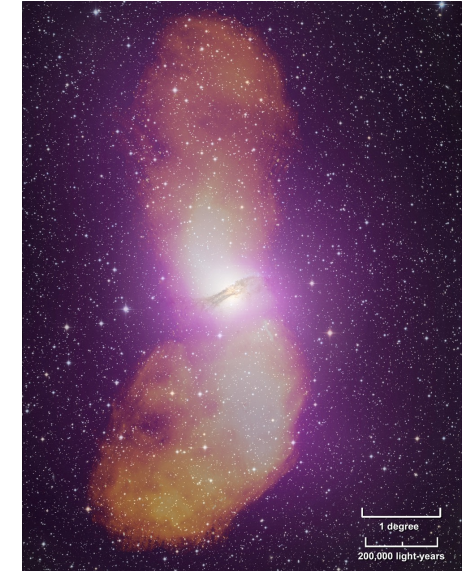
El “bestiario” de los rayos gamma



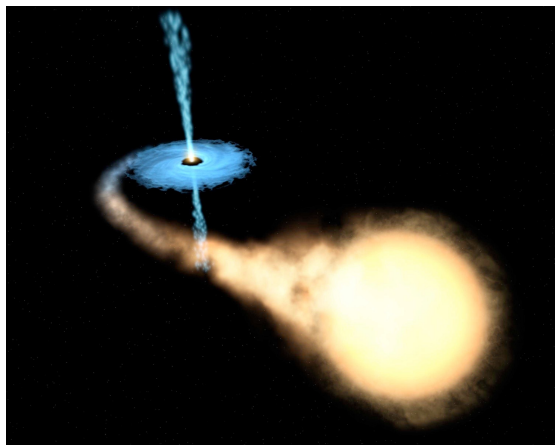
Agujeros negros



Púlsares



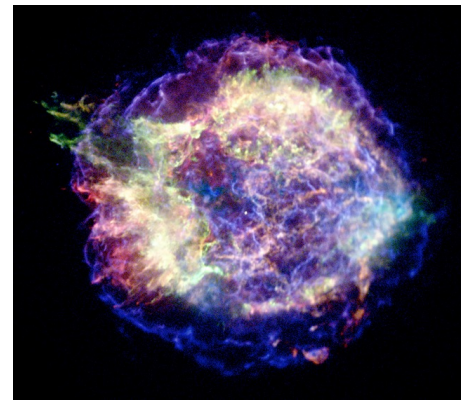
Radio galaxias



Sistemas binarios



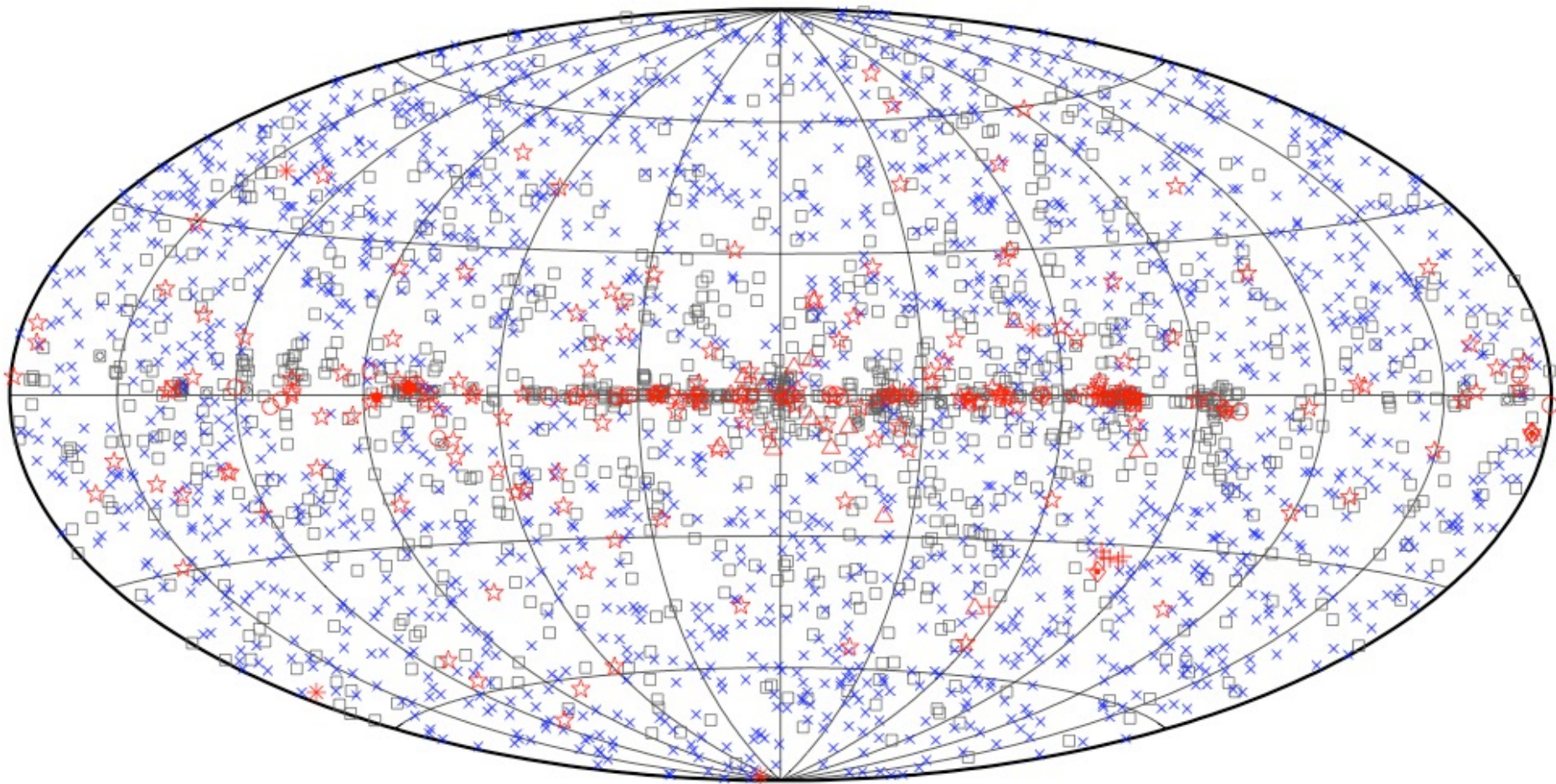
Galaxias con alta
formación estelar



Remanentes de supernova

+ ¿materia oscura?

¡Cerca de 7.000 objetos en la actualidad!

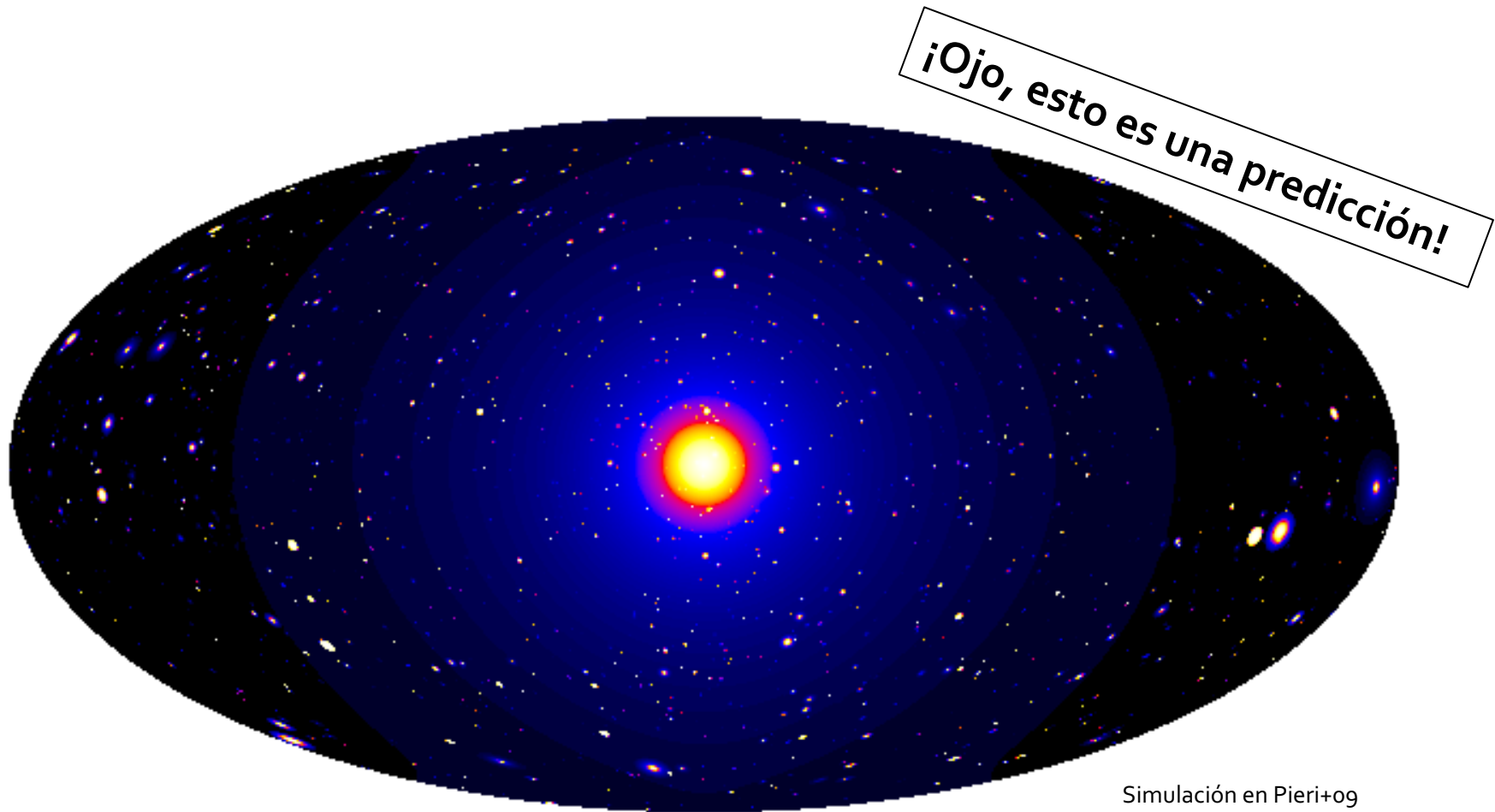


- | | | | |
|-----------------------|--|---|------|
| □ No association | ■ Possible association with SNR or PWN | × | AGN |
| ☆ Pulsar | △ Globular cluster | ◆ | PWN |
| ▣ Binary | + Galaxy | * | Nova |
| * Star-forming region | | | |

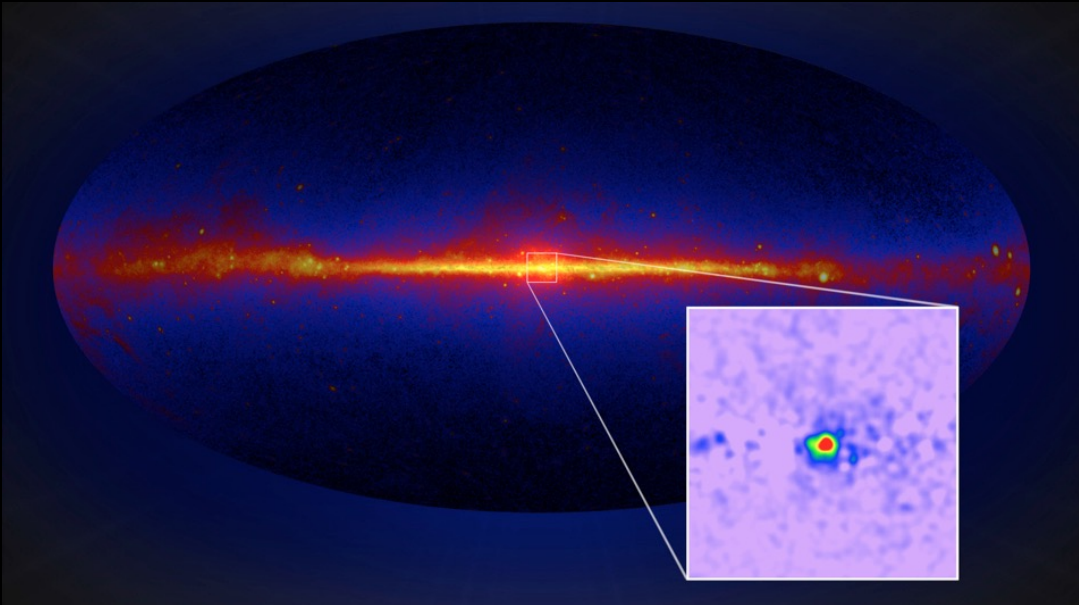
Necesario **discriminar** posibles aniquilaciones de materia oscura frente a procesos astrofísicos “convencionales”.

Crítico comprender los procesos astrofísicos en gran detalle.

El cielo de rayos gammas inducido por aniquilación de materia oscura



¿Materia oscura en el centro galáctico?



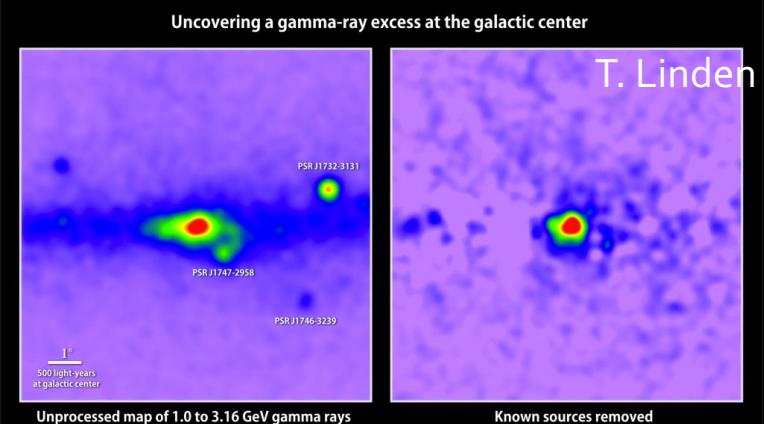
Vemos un **exceso** de rayos gamma en el centro de la Vía Láctea.

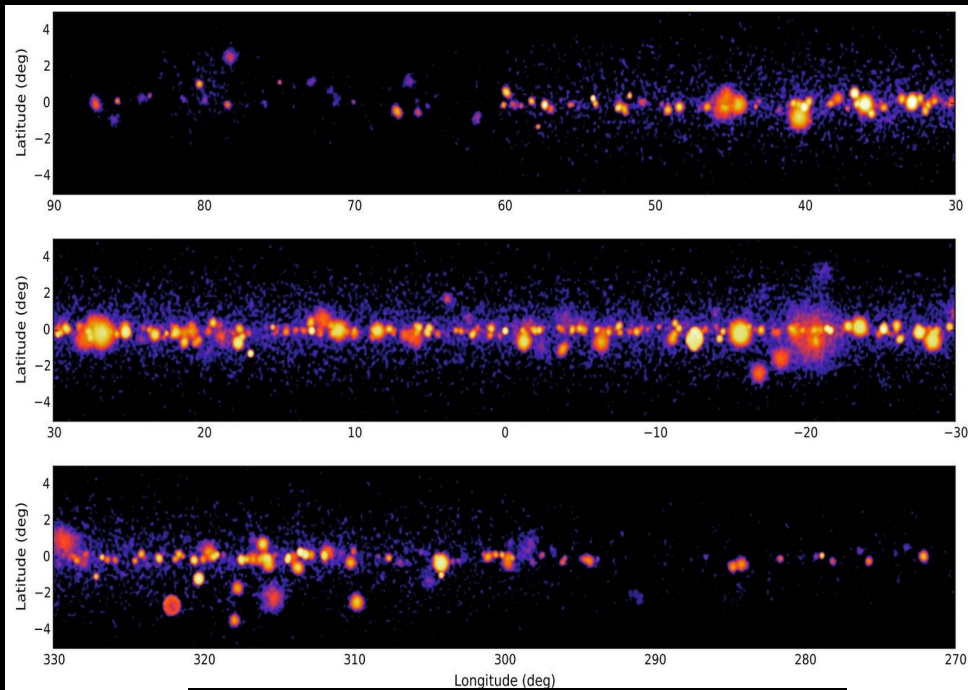
Propiedades **compatibles** con materia oscura.

Pero el centro galáctico es un lugar muy **complicado**...

No conocemos bien todas los objetos que emiten rayos gamma en esa zona 😞

¡Estamos en ello!





Simulación CTA del plano galáctico

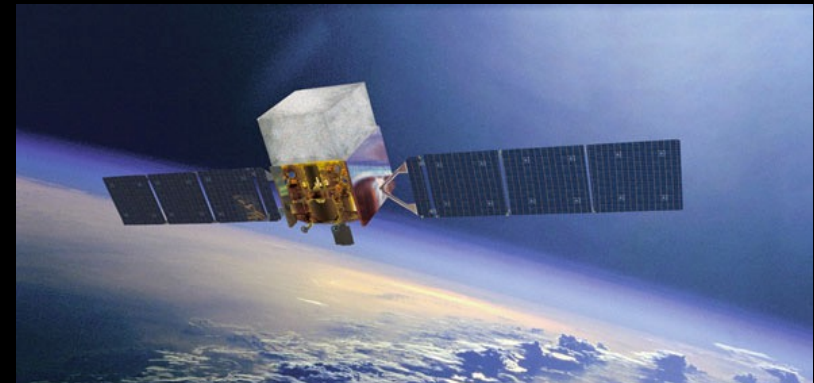
CTA será **10 veces más sensible** que los mejores telescopios actuales.

Mejor resolución espacial y resolución en energía.

¡Observatorio **abierto a la comunidad**!

CTA desvelará el Universo violento **en mayor detalle**.

Junto con Fermi, permitirá testar los principales modelos de **materia oscura**.



EDAD DORADA DE LAS BÚSQUEDAS DE MATERIA OSCURA

Y DE LA ASTROFÍSICA DE ALTAS ENERGÍAS o **ASTROPARTÍCULAS**

